

Tópicos de Pontos Interiores

Porfirio Suñagua Salgado



Campinas-SP, Maio 2013



Conteúdo

1 Programação Linear

Região Factível

Pontos Interiores

Precondicionadores

Método de Pontos Interiores

Método Predictor-Corretor

2 Solução de Sistemas no MPI

Métodos diretos e iterativos

3 Problema *PL* penalizado

Parâmetro de penalização

4 Resultados Numéricos

PCx

5 Conclusões

6 Bibliografia

7 Agradecimento



Conteúdo

- 1 Programação Linear
 - Região Factível
 - Pontos Interiores
 - Precondicionadores
 - Método de Pontos Interiores
 - Método Predictor-Corretor
- 2 Solução de Sistemas no MPI

Métodos diretos e iterativos

- 3 Problema *PL* penalizado
 - Parâmetro de penalização
- 4 Resultados Numéricos
 - PCx
- 5 Conclusões
- 6 Bibliografia
- 7 Agradecimento



Conteúdo

1 Programação Linear

Região Factível

Pontos Interiores

Precondicionadores

Método de Pontos Interiores

Método Predictor-Corretor

2 Solução de Sistemas no MPI

Métodos diretos e iterativos

3 Problema *PL* penalizado

Parâmetro de penalização

4 Resultados Numéricos

PCx

5 Conclusões

6 Bibliografia

7 Agradecimento



Conteúdo

1 Programação Linear

Região Factível

Pontos Interiores

Precondicionadores

Método de Pontos Interiores

Método Predictor-Corretor

2 Solução de Sistemas no MPI

Métodos diretos e iterativos

3 Problema *PL* penalizado

Parâmetro de penalização

4 Resultados Numéricos

PCx

5 Conclusões

6 Bibliografia

7 Agradecimento



Conteúdo

1 Programação Linear

Região Factível

Pontos Interiores

Precondicionadores

Método de Pontos Interiores

Método Predictor-Corretor

2 Solução de Sistemas no MPI

Métodos diretos e iterativos

3 Problema *PL* penalizado

Parâmetro de penalização

4 Resultados Numéricos

PCx

5 Conclusões

6 Bibliografia

7 Agradecimento



Conteúdo

1 Programação Linear

Região Factível

Pontos Interiores

Precondicionadores

Método de Pontos Interiores

Método Predictor-Corretor

2 Solução de Sistemas no MPI

Métodos diretos e iterativos

3 Problema *PL* penalizado

Parâmetro de penalização

4 Resultados Numéricos

PCx

5 Conclusões

6 Bibliografia

7 Agradecimento



Conteúdo

1 Programação Linear

Região Factível

Pontos Interiores

Precondicionadores

Método de Pontos Interiores

Método Predictor-Corretor

2 Solução de Sistemas no MPI

Métodos diretos e iterativos

3 Problema PL penalizado

Parâmetro de penalização

4 Resultados Numéricos

PC_x

5 Conclusões

6 Bibliografia

7 Agradecimento



Conteúdo:

1 Programação Linear

Região Factível

Pontos Interiores

Precondicionadores

Método de Pontos Interiores

Método Predictor-Corretor

2 Solução de Sistemas no MPI

Métodos diretos e iterativos

3 Problema *PL* penalizado

Parâmetro de penalização

4 Resultados Numéricos

PCx

5 Conclusões

6 Bibliografia

7 Agradecimento



Solução Factível

Método Gráfico

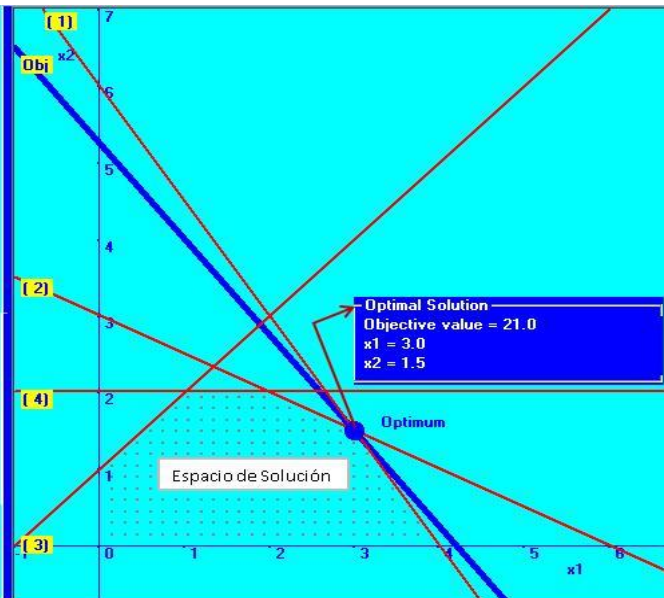
Ejemplo FICTICIA, S.A.

Maximize $z = 5.0x_1 + 4.0x_2$

subject to

- [1] $6.0x_1 + 4.0x_2 \leq 24.0$
- [2] $1.0x_1 + 2.0x_2 \leq 6.0$
- [3] $-1.0x_1 + 1.0x_2 \leq 1.0$
- [4] $0.0x_1 + 1.0x_2 \leq 2.0$

all $x_j \geq 0$



Conteúdo:

1 Programação Linear

Região Factível

Pontos Interiores

Precondicionadores

Método de Pontos Interiores

Método Predictor-Corretor

2 Solução de Sistemas no MPI

Métodos diretos e iterativos

3 Problema *PL* penalizado

Parâmetro de penalização

4 Resultados Numéricos

PCx

5 Conclusões

6 Bibliografia

7 Agradecimento

História

- 1967 Primeiro método de pontos interiores, Dikin
- 1985 Primeiro método de Pontos Interiores Polinomial, Karmarkar
- 1986 Método Primal afim escala, redescoberto por varios autores
- 1989 Método Dual afim escala, Adler, Rezende, Veiga, Kamarkar
- 1989 Método Primal-Dual afim escala, Kojima, Mizuno e Yoshise
- 1992 Método Preditor-Corretor, Mehrotra
- 1992 Convergência superlinear de Primal-Dual, Tapia
- 1993 Convergência quadrática de Primal-Dual, Mehrotra
- 1992 Convergência quadrática de Preditor-Corretor, Mehrotra; 1993 Ye e 1994 Potra
- 1996 Método de Múltiplas Correções, Gondzio
- ↓ Método de Pontos Interiores para PNL
- Evolução do Método Simplex como também de MPI



História

- 1967 Primeiro método de pontos interiores, Dikin
- 1985 Primeiro método de Pontos Interiores Polinomial, Karmarkar
- 1986 Método Primal afim escala, redescoberto por varios autores
- 1989 Método Dual afim escala, Adler, Rezende, Veiga, Kamarkar
- 1989 Método Primal-Dual afim escala, Kojima, Mizuno e Yoshise
- 1992 Método Preditor-Corretor, Mehrotra
- 1992 Convergência superlinear de Primal-Dual, Tapia
- 1993 Convergência quadrática de Primal-Dual, Mehrotra
- 1992 Convergência quadrática de Preditor-Corretor, Mehrotra; 1993 Ye e 1994 Potra
- 1996 Método de Múltiplas Correções, Gondzio
- ↓ Método de Pontos Interiores para PNL
- Evolução do Método Simplex como também de MPI



História

- 1967 Primeiro método de pontos interiores, Dikin
- 1985 Primeiro método de Pontos Interiores Polinomial, Karmarkar
- 1986 Método Primal afim escala, redescoberto por varios autores
- 1989 Método Dual afim escala, Adler, Rezende, Veiga, Kamarkar
- 1989 Método Primal-Dual afim escala, Kojima, Mizuno e Yoshise
- 1992 Método Preditor-Corretor, Mehrotra
- 1992 Convergência superlinear de Primal-Dual, Tapia
- 1993 Convergência quadrática de Primal-Dual, Mehrotra
- 1992 Convergência quadrática de Preditor-Corretor, Mehrotra; 1993 Ye e 1994 Potra
- 1996 Método de Múltiplas Correções, Gondzio
- ↓ Método de Pontos Interiores para PNL
- Evolução do Método Simplex como também de MPI



História

- 1967 Primeiro método de pontos interiores, Dikin
- 1985 Primeiro método de Pontos Interiores Polinomial, Karmarkar
- 1986 Método Primal afim escala, redescoberto por varios autores
- 1989 Método Dual afim escala, Adler, Rezende, Veiga, Kamarkar
- 1989 Método Primal-Dual afim escala, Kojima, Mizuno e Yoshise
- 1992 Método Preditor-Corretor, Mehrotra
- 1992 Convergência superlinear de Primal-Dual, Tapia
- 1993 Convergência quadrática de Primal-Dual, Mehrotra
- 1992 Convergência quadrática de Preditor-Corretor, Mehrotra; 1993 Ye e 1994 Potra
- 1996 Método de Múltiplas Correções, Gondzio
- ↓ Método de Pontos Interiores para PNL
- Evolução do Método Simplex como também de MPI



História

- 1967 Primeiro método de pontos interiores, Dikin
- 1985 Primeiro método de Pontos Interiores Polinomial, Karmarkar
- 1986 Método Primal afim escala, redescoberto por varios autores
- 1989 Método Dual afim escala, Adler, Rezende, Veiga, Kamarkar
- 1989 Método Primal-Dual afim escala, Kojima, Mizuno e Yoshise
- 1992 Método Preditor-Corretor, Mehrotra
- 1992 Convergência superlinear de Primal-Dual, Tapia
- 1993 Convergência quadrática de Primal-Dual, Mehrotra
- 1992 Convergência quadrática de Preditor-Corretor, Mehrotra; 1993 Ye e 1994 Potra
- 1996 Método de Múltiplas Correções, Gondzio
- ↓ Método de Pontos Interiores para PNL
- Evolução do Método Simplex como também de MPI



História

- 1967 Primeiro método de pontos interiores, Dikin
- 1985 Primeiro método de Pontos Interiores Polinomial, Karmarkar
- 1986 Método Primal afim escala, redescoberto por varios autores
- 1989 Método Dual afim escala, Adler, Rezende, Veiga, Kamarkar
- 1989 Método Primal-Dual afim escala, Kojima, Mizuno e Yoshise
- 1992 Método Preditor-Corretor, Mehrotra
- 1992 Convergência superlinear de Primal-Dual, Tapia
- 1993 Convergência quadrática de Primal-Dual, Mehrotra
- 1992 Convergência quadrática de Preditor-Corretor, Mehrotra; 1993 Ye e 1994 Potra
- 1996 Método de Múltiplas Correções, Gondzio
- ↓ Método de Pontos Interiores para PNL
- Evolução do Método Simplex como também de MPI



História

- 1967 Primeiro método de pontos interiores, Dikin
- 1985 Primeiro método de Pontos Interiores Polinomial, Karmarkar
- 1986 Método Primal afim escala, redescoberto por varios autores
- 1989 Método Dual afim escala, Adler, Rezende, Veiga, Kamarkar
- 1989 Método Primal-Dual afim escala, Kojima, Mizuno e Yoshise
- 1992 Método Preditor-Corretor, Mehrotra
- 1992 Convergência superlinear de Primal-Dual, Tapia
- 1993 Convergência quadrática de Primal-Dual, Mehrotra
- 1992 Convergência quadrática de Preditor-Corretor, Mehrotra; 1993 Ye e 1994 Potra
- 1996 Método de Múltiplas Correções, Gondzio
- ↓ Método de Pontos Interiores para PNL
- Evolução do Método Simplex como também de MPI



História

- 1967 Primeiro método de pontos interiores, Dikin
- 1985 Primeiro método de Pontos Interiores Polinomial, Karmarkar
- 1986 Método Primal afim escala, redescoberto por varios autores
- 1989 Método Dual afim escala, Adler, Rezende, Veiga, Kamarkar
- 1989 Método Primal-Dual afim escala, Kojima, Mizuno e Yoshise
- 1992 Método Preditor-Corretor, Mehrotra
- 1992 Convergência superlinear de Primal-Dual, Tapia
- 1993 Convergência quadrática de Primal-Dual, Mehrotra
- 1992 Convergência quadrática de Preditor-Corretor, Mehrotra; 1993 Ye e 1994 Potra
- 1996 Método de Múltiplas Correções, Gondzio
- ↓ Método de Pontos Interiores para PNL
- Evolução do Método Simplex como também de MPI



História

- 1967 Primeiro método de pontos interiores, Dikin
- 1985 Primeiro método de Pontos Interiores Polinomial, Karmarkar
- 1986 Método Primal afim escala, redescoberto por varios autores
- 1989 Método Dual afim escala, Adler, Rezende, Veiga, Kamarkar
- 1989 Método Primal-Dual afim escala, Kojima, Mizuno e Yoshise
- 1992 Método Preditor-Corretor, Mehrotra
- 1992 Convergência superlinear de Primal-Dual, Tapia
- 1993 Convergência quadrática de Primal-Dual, Mehrotra
- 1992 Convergência quadrática de Preditor-Corretor, Mehrotra;
1993 Ye e 1994 Potra
- 1996 Método de Múltiplas Correções, Gondzio
- ↓ Método de Pontos Interiores para PNL
- Evolução do Método Simplex como também de MPI



História

- 1967 Primeiro método de pontos interiores, Dikin
- 1985 Primeiro método de Pontos Interiores Polinomial, Karmarkar
- 1986 Método Primal afim escala, redescoberto por varios autores
- 1989 Método Dual afim escala, Adler, Rezende, Veiga, Kamarkar
- 1989 Método Primal-Dual afim escala, Kojima, Mizuno e Yoshise
- 1992 Método Preditor-Corretor, Mehrotra
- 1992 Convergência superlinear de Primal-Dual, Tapia
- 1993 Convergência quadrática de Primal-Dual, Mehrotra
- 1992 Convergência quadrática de Preditor-Corretor, Mehrotra; 1993 Ye e 1994 Potra
- 1996 Método de Múltiplas Correções, Gondzio
- ↓ Método de Pontos Interiores para PNL
- Evolução do Método Simplex como também de MPI



História

- 1967 Primeiro método de pontos interiores, Dikin
- 1985 Primeiro método de Pontos Interiores Polinomial, Karmarkar
- 1986 Método Primal afim escala, redescoberto por varios autores
- 1989 Método Dual afim escala, Adler, Rezende, Veiga, Kamarkar
- 1989 Método Primal-Dual afim escala, Kojima, Mizuno e Yoshise
- 1992 Método Preditor-Corretor, Mehrotra
- 1992 Convergência superlinear de Primal-Dual, Tapia
- 1993 Convergência quadrática de Primal-Dual, Mehrotra
- 1992 Convergência quadrática de Preditor-Corretor, Mehrotra;
1993 Ye e 1994 Potra
- 1996 Método de Múltiplas Correções, Gondzio
- ↓ Método de Pontos Interiores para PNL
- Evolução do Método Simplex como também de MPI



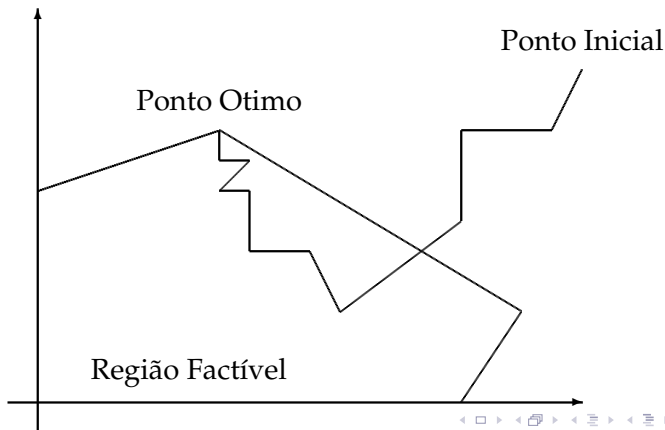
História

- 1967 Primeiro método de pontos interiores, Dikin
- 1985 Primeiro método de Pontos Interiores Polinomial, Karmarkar
- 1986 Método Primal afim escala, redescoberto por varios autores
- 1989 Método Dual afim escala, Adler, Rezende, Veiga, Kamarkar
- 1989 Método Primal-Dual afim escala, Kojima, Mizuno e Yoshise
- 1992 Método Preditor-Corretor, Mehrotra
- 1992 Convergência superlinear de Primal-Dual, Tapia
- 1993 Convergência quadrática de Primal-Dual, Mehrotra
- 1992 Convergência quadrática de Preditor-Corretor, Mehrotra;
1993 Ye e 1994 Potra
- 1996 Método de Múltiplas Correções, Gondzio
- ↓ Método de Pontos Interiores para PNL
- Evolução do Método Simplex como também de MPI



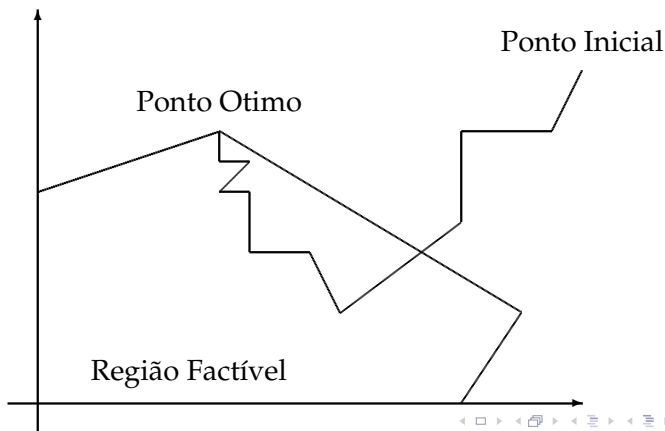
Comparação: Simplex vs. Pontos Interiores

- Ambos métodos são eficientes na prática
 - Simplex: Muitas iterações para convergir, mas elas são baratas
 - Pontos Interiores: Poucas iterações, mas eles são caras
 - O método de Karmarkar só tem interesse na história



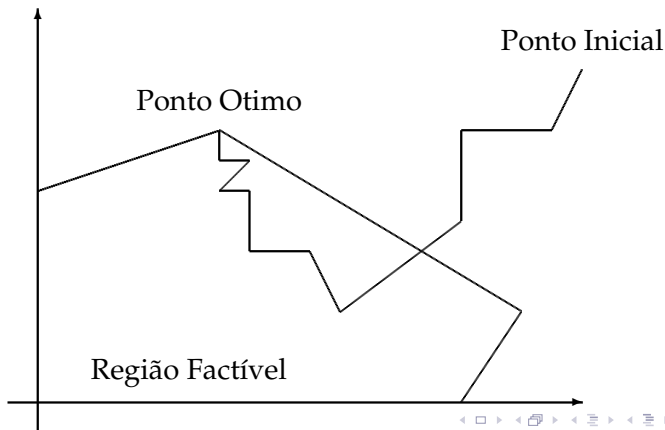
Comparação: Simplex vs. Pontos Interiores

- Ambos métodos são eficientes na prática
- Simplex: Muitas iterações para convergir, mas elas são baratas
- Pontos Interiores: Poucas iterações, mas eles são caros
- O método de Karmarkar só tem interesse na história



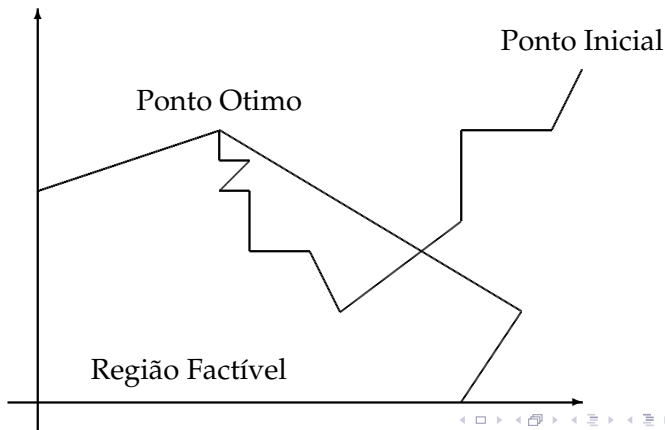
Comparação: Simplex vs. Pontos Interiores

- Ambos métodos são eficientes na prática
- Simplex: Muitas iterações para convergir, mas elas são baratas
- Pontos Interiores: Poucas iterações, mas eles são caras
- O método de Karmarkar só tem interesse na história



Comparação: Simplex vs. Pontos Interiores

- Ambos métodos são eficientes na prática
- Simplex: Muitas iterações para convergir, mas elas são baratas
- Pontos Interiores: Poucas iterações, mas eles são caras
- O método de Karmarkar só tem interesse na história



Problema PL (Primal-Dual)

- Primal - Dual

$$\begin{array}{ll}
 \text{Min} & c^T x \\
 \text{s.a.} & Ax = b \\
 & x \geq 0
 \end{array}
 \Leftrightarrow
 \begin{array}{ll}
 \text{Max} & b^T y \\
 \text{s.a.} & A^T y + z = c \\
 & z \geq 0
 \end{array}
 \quad (1)$$

- Para este problema, as condições de otimalidade KKT de primeira ordem são um sistema não linear de equações

$$Ax = b, \quad A^T y + z = c, \quad XZe = 0 \quad (2)$$

$X = \text{diag}(x)$, $Z = \text{diag}(z)$, $e \in \mathbb{R}^n$ é o vetor de uns, $x \geq 0$ e $z \geq 0$.

- Sistema Aumentado - Sistema Normal:

$$\begin{pmatrix} -D^{-1} & A^T \\ A & 0 \end{pmatrix}
 \begin{pmatrix} dx \\ dy \end{pmatrix}
 =
 \begin{pmatrix} r_1 \\ r_2 \end{pmatrix}, \quad ADA^T dy = r \quad (3)$$

$D = Z^{-1}X$ e dx, dy direções de Newton



Problema PL (Primal-Dual)

- Primal - Dual

$$\begin{array}{ll}
 \text{Min} & c^T x \\
 \text{s.a.} & Ax = b \\
 & x \geq 0
 \end{array}
 \Leftrightarrow
 \begin{array}{ll}
 \text{Max} & b^T y \\
 \text{s.a.} & A^T y + z = c \\
 & z \geq 0
 \end{array}
 \quad (1)$$

- Para este problema, as condições de otimalidade KKT de primeira ordem são um sistema não linear de equações

$$Ax = b, \quad A^T y + z = c, \quad XZe = 0 \quad (2)$$

$X = \text{diag}(x)$, $Z = \text{diag}(z)$, $e \in \mathbb{R}^n$ é o vetor de uns, $x \geq 0$ e $z \geq 0$.

- Sistema Aumentado - Sistema Normal:

$$\begin{pmatrix} -D^{-1} & A^T \\ A & 0 \end{pmatrix}
 \begin{pmatrix} dx \\ dy \end{pmatrix} = \begin{pmatrix} r_1 \\ r_2 \end{pmatrix}, \quad ADA^T dy = r \quad (3)$$

$D = Z^{-1}X$ e dx, dy direções de Newton



Problema PL (Primal-Dual)

- Primal - Dual

$$\begin{array}{ll}
 \text{Min} & c^T x \\
 \text{s.a.} & Ax = b \\
 & x \geq 0
 \end{array}
 \Leftrightarrow
 \begin{array}{ll}
 \text{Max} & b^T y \\
 \text{s.a.} & A^T y + z = c \\
 & z \geq \mathbf{0}
 \end{array}
 \quad (1)$$

- Para este problema, as condições de otimalidade KKT de primeira ordem são um sistema não linear de equações

$$Ax = b, \quad A^T y + z = c, \quad XZe = 0 \quad (2)$$

$X = \text{diag}(x)$, $Z = \text{diag}(z)$, $e \in \mathbb{R}^n$ é o vetor de uns, $x \geq 0$ e $z \geq 0$.

- Sistema Aumentado - Sistema Normal:

$$\begin{pmatrix} -D^{-1} & A^T \\ A & 0 \end{pmatrix}
 \begin{pmatrix} dx \\ dy \end{pmatrix}
 = \begin{pmatrix} r_1 \\ r_2 \end{pmatrix}, \quad ADA^T dy = r \quad (3)$$

$D = Z^{-1}X$ e dx, dy direções de Newton



Conteúdo:

1 Programação Linear

Região Factível

Pontos Interiores

Precondicionadores

Método de Pontos Interiores

Método Predictor-Corretor

2 Solução de Sistemas no MPI

Métodos diretos e iterativos

3 Problema *PL* penalizado

Parâmetro de penalização

4 Resultados Numéricos

PCx

5 Conclusões

6 Bibliografia

7 Agradecimento

Precondicionador Gondzio et al

- $A = [B, N]$, $D = \text{diag}(D_B, D_N)$, supondo que $D_B^{-1} \approx 0$ e $D_N \approx 0$

$$K = \begin{bmatrix} D_B^{-1} & & B^T \\ & D_N^{-1} & N^T \\ B & N & \end{bmatrix} \approx \begin{bmatrix} & & B^T \\ & D_N^{-1} & N^T \\ B & N & \end{bmatrix}$$

$$ADA^T = BD_B B^T + ND_N N^T \approx BD_B B^T$$

- Precondicionador proposto para o sistema aumentado é

$$P = \begin{bmatrix} & & B^T \\ & D_N^{-1} & N^T \\ B & N & \end{bmatrix}$$

- Para resolver aplica métodos iterativos alternativos MGC



Precondicionador Gondzio et al

- $A = [B, N]$, $D = \text{diag}(D_B, D_N)$, supondo que $D_B^{-1} \approx 0$ e $D_N \approx 0$

$$K = \begin{bmatrix} D_B^{-1} & & B^T \\ & D_N^{-1} & N^T \\ B & N & \end{bmatrix} \approx \begin{bmatrix} & & B^T \\ & D_N^{-1} & N^T \\ B & N & \end{bmatrix}$$

$$ADA^T = BD_B B^T + ND_N N^T \approx BD_B B^T$$

- Precondicionador proposto para o sistema aumentado é

$$P = \begin{bmatrix} & & B^T \\ & D_N^{-1} & N^T \\ B & N & \end{bmatrix}$$

- Para resolver aplica métodos iterativos alternativos MGC



Precondicionador Gondzio et al

- $A = [B, N]$, $D = \text{diag}(D_B, D_N)$, supondo que $D_B^{-1} \approx 0$ e $D_N \approx 0$

$$K = \begin{bmatrix} D_B^{-1} & & B^T \\ & D_N^{-1} & N^T \\ B & N & \end{bmatrix} \approx \begin{bmatrix} & & B^T \\ & D_N^{-1} & N^T \\ B & N & \end{bmatrix}$$

$$ADA^T = BD_B B^T + ND_N N^T \approx BD_B B^T$$

- Precondicionador proposto para o sistema aumentado é

$$P = \begin{bmatrix} & & B^T \\ & D_N^{-1} & N^T \\ B & N & \end{bmatrix}$$

- Para resolver aplica métodos iterativos alternativos MGC



Precondicionador Bergamaschi et al

- Considera problema quadrático $+\frac{1}{2}x^T Qx$ na função objetivo $E = -(\text{diag}(Q) + D^{-1})$, Cholesky $AE^{-1}A^T = L_0 D_0 L_0^T$

$$\begin{aligned}
 P_2 = \begin{bmatrix} E & A^T \\ A & 0 \end{bmatrix} &= \begin{bmatrix} I & 0 \\ AE^{-1} & I \end{bmatrix} \begin{bmatrix} E & 0 \\ 0 & -AE^{-1}A^T \end{bmatrix} \begin{bmatrix} I & E^{-1}A^T \\ 0 & I \end{bmatrix} \\
 &= \begin{bmatrix} I & 0 \\ AE^{-1} & L_0 \end{bmatrix} \begin{bmatrix} E & 0 \\ 0 & -D_0 \end{bmatrix} \begin{bmatrix} I & E^{-1}A^T \\ 0 & L_0^T \end{bmatrix}
 \end{aligned}$$

- Precondicionador é a inversa de P_2 .



Precondicionador Bergamaschi et al

- Considera problema quadrático $+\frac{1}{2}x^T Qx$ na função objetivo $E = -(\text{diag}(Q) + D^{-1})$, Cholesky $AE^{-1}A^T = L_0 D_0 L_0^T$

$$\begin{aligned}
 P_2 = \begin{bmatrix} E & A^T \\ A & 0 \end{bmatrix} &= \begin{bmatrix} I & 0 \\ AE^{-1} & I \end{bmatrix} \begin{bmatrix} E & 0 \\ 0 & -AE^{-1}A^T \end{bmatrix} \begin{bmatrix} I & E^{-1}A^T \\ 0 & I \end{bmatrix} \\
 &= \begin{bmatrix} I & 0 \\ AE^{-1} & L_0 \end{bmatrix} \begin{bmatrix} E & 0 \\ 0 & -D_0 \end{bmatrix} \begin{bmatrix} I & E^{-1}A^T \\ 0 & L_0^T \end{bmatrix}
 \end{aligned}$$

- Precondicionador é a inversa de P_2 .



Precondicionador Joo-Siong Chai e Kim-Chuan Toh

- *PL canalizado*: $D = X^{-1}Z + V^{-1}W$

$$\begin{bmatrix} -D & A^T \\ A & 0 \end{bmatrix} \begin{bmatrix} \Delta x \\ \Delta y \end{bmatrix} = \begin{bmatrix} g \\ r_p \end{bmatrix}$$

- Seja $D = \text{diag}(D_1, D_2)$, tal que $D_1/\mu = \mathcal{O}(1)$, $\mu D_2 = \mathcal{O}(1)$, $\mu \ll 1$.
Partição $A = [A_1, A_2]$, $\Delta x = [\Delta x_1, \Delta x_2]^T$, $g = [g_1, g_2]^T$.
- Sistema Reduzido: $E_1 > 0$ (diagonal), $\Delta x_2 = D_2^{-1}(A_2^T \Delta y - g_2)$.

$$K = \begin{bmatrix} H & B \\ B^T & -\Psi \end{bmatrix} \begin{bmatrix} \Delta y \\ \Delta \tilde{x}_1 \end{bmatrix} = \begin{bmatrix} h \\ F_1^{-1} g_1 \end{bmatrix}$$

$$F_1 = E_1 + D_1, \text{ e}$$

$$\Delta \tilde{x}_1 = F_1^{-1} E_1 \Delta x_1$$

$$\Psi = D_1 E_1^{-1}$$

$$H = \text{Adiag}(F_1^{-1}, D_2^{-1}) A^T$$

$$B = A_1 F_1^{-1/2}$$

$$h = r_p + \text{Adiag}(F_1^{-1}, D_2^{-1}) g$$



Precondicionador Joo-Siong Chai e Kim-Chuan Toh

- *PL* canalizado: $D = X^{-1}Z + V^{-1}W$

$$\begin{bmatrix} -D & A^T \\ A & 0 \end{bmatrix} \begin{bmatrix} \Delta x \\ \Delta y \end{bmatrix} = \begin{bmatrix} g \\ r_p \end{bmatrix}$$

- Seja $D = \text{diag}(D_1, D_2)$, tal que $D_1/\mu = \mathcal{O}(1)$, $\mu D_2 = \mathcal{O}(1)$, $\mu \ll 1$.
Partição $A = [A_1, A_2]$, $\Delta x = [\Delta x_1, \Delta x_2]^T$, $g = [g_1, g_2]^T$.
- Sistema Reduzido: $E_1 > 0$ (diagonal), $\Delta x_2 = D_2^{-1}(A_2^T \Delta y - g_2)$.

$$K = \begin{bmatrix} H & B \\ B^T & -\Psi \end{bmatrix} \begin{bmatrix} \Delta y \\ \Delta \tilde{x}_1 \end{bmatrix} = \begin{bmatrix} h \\ F_1^{-1} g_1 \end{bmatrix}$$

$$F_1 = E_1 + D_1, \text{ e}$$

$$\Delta \tilde{x}_1 = F_1^{-1} E_1 \Delta x_1$$

$$\Psi = D_1 E_1^{-1}$$

$$H = \text{Adiag}(F_1^{-1}, D_2^{-1}) A^T$$

$$B = A_1 F_1^{-1/2}$$

$$h = r_p + \text{Adiag}(F_1^{-1}, D_2^{-1}) g$$



Precondicionador Joo-Siong Chai e Kim-Chuan Toh

- *PL* canalizado: $D = X^{-1}Z + V^{-1}W$

$$\begin{bmatrix} -D & A^T \\ A & 0 \end{bmatrix} \begin{bmatrix} \Delta x \\ \Delta y \end{bmatrix} = \begin{bmatrix} g \\ r_p \end{bmatrix}$$

- Seja $D = \text{diag}(D_1, D_2)$, tal que $D_1/\mu = \mathcal{O}(1)$, $\mu D_2 = \mathcal{O}(1)$, $\mu \ll 1$.
Partição $A = [A_1, A_2]$, $\Delta x = [\Delta x_1, \Delta x_2]^T$, $g = [g_1, g_2]^T$.
- Sistema Reduzido: $E_1 > 0$ (diagonal), $\Delta x_2 = D_2^{-1}(A_2^T \Delta y - g_2)$.

$$K = \begin{bmatrix} H & B \\ B^T & -\Psi \end{bmatrix} \begin{bmatrix} \Delta y \\ \Delta \tilde{x}_1 \end{bmatrix} = \begin{bmatrix} h \\ F_1^{-1} g_1 \end{bmatrix}$$

$$F_1 = E_1 + D_1, \text{ e}$$

$$\Delta \tilde{x}_1 = F_1^{-1} E_1 \Delta x_1$$

$$\Psi = D_1 E_1^{-1}$$

$$H = \text{Adiag}(F_1^{-1}, D_2^{-1}) A^T$$

$$B = A_1 F_1^{-1/2}$$

$$h = r_p + \text{Adiag}(F_1^{-1}, D_2^{-1}) g$$



Cont. Precondicionador de Chai-Toh

- A inversa da matriz de coeficientes do sistema reduzido é

$$K^{-1} = \begin{bmatrix} H^{-1/2}(I - P)H^{-1/2} & H^{-1}BS^{-1} \\ S^{-1}B^TH^{-1} & -S^{-1} \end{bmatrix}$$

$S = B^TH^{-1}B + \Psi$, e $P = H^{-1/2}BS^{-1}B^TH^{-1/2}$ satisfaz $0 \preceq P \preceq I$.

- Precondicionador proposto baseado em sua inversa é

$$P_c^{-1} = \begin{bmatrix} \hat{H}^{-1} - \hat{H}^{-1}B\hat{S}^{-1}B^T\hat{H}^{-1} & \hat{H}^{-1}B\hat{S}^{-1} \\ \hat{S}^{-1}B^T\hat{H}^{-1} & -\hat{S}^{-1} \end{bmatrix}$$

\hat{H} e \hat{S} são definidas positivas como aproximações de H e S respectivamente tal que $\hat{S} = B^T\hat{H}^{-1}B + \Psi$.



Cont. Precondicionador de Chai-Toh

- A inversa da matriz de coeficientes do sistema reduzido é

$$K^{-1} = \begin{bmatrix} H^{-1/2}(I - P)H^{-1/2} & H^{-1}BS^{-1} \\ S^{-1}B^TH^{-1} & -S^{-1} \end{bmatrix}$$

$S = B^TH^{-1}B + \Psi$, e $P = H^{-1/2}BS^{-1}B^TH^{-1/2}$ satisfaz $0 \preceq P \preceq I$.

- Precondicionador proposto baseado em sua inversa é

$$P_c^{-1} = \begin{bmatrix} \hat{H}^{-1} - \hat{H}^{-1}B\hat{S}^{-1}B^T\hat{H}^{-1} & \hat{H}^{-1}B\hat{S}^{-1} \\ \hat{S}^{-1}B^T\hat{H}^{-1} & -\hat{S}^{-1} \end{bmatrix}$$

\hat{H} e \hat{S} são definidas positivas como aproximações de H e S respectivamente tal que $\hat{S} = B^T\hat{H}^{-1}B + \Psi$.



Precondicionador A.R.L. Oliveira e D.C. Sorensen

- Ordena colunas pela norma de AD , logo obter base por fatoração LU rectangular
- Precondicionador Separador

$$M^{-1} = \begin{pmatrix} D_B^{1/2} & 0 & D_B^{-1/2}B^{-1} \\ 0 & D_N^{1/2} & 0 \\ D_B^{1/2} & 0 & 0 \end{pmatrix}$$

- Resolver um sistema com matriz de coeficientes $T = I + D_B^{-1/2}B^{-1}ND_NN^TB^{-T}D_B^{-1/2} \approx I$
- Método de Gradientes Conjugados



Precondicionador A.R.L. Oliveira e D.C. Sorensen

- Ordena colunas pela norma de AD , logo obter base por fatoração LU rectangular
- Precondicionador Separador

$$M^{-1} = \begin{pmatrix} D_B^{1/2} & 0 & D_B^{-1/2}B^{-1} \\ 0 & D_N^{1/2} & 0 \\ D_B^{1/2} & 0 & 0 \end{pmatrix}$$

- Resolver um sistema com matriz de coeficientes $T = I + D_B^{-1/2}B^{-1}ND_NN^TB^{-T}D_B^{-1/2} \approx I$
- Método de Gradientes Conjugados



Precondicionador A.R.L. Oliveira e D.C. Sorensen

- Ordena colunas pela norma de AD , logo obter base por fatoração LU rectangular
- Precondicionador Separador

$$M^{-1} = \begin{pmatrix} D_B^{1/2} & 0 & D_B^{-1/2}B^{-1} \\ 0 & D_N^{1/2} & 0 \\ D_B^{1/2} & 0 & 0 \end{pmatrix}$$

- Resolver um sistema com matriz de coeficientes $T = I + D_B^{-1/2}B^{-1}ND_NN^TB^{-T}D_B^{-1/2} \approx I$
- Método de Gradientes Conjugados



Precondicionador A.R.L. Oliveira e D.C. Sorensen

- Ordena colunas pela norma de AD , logo obter base por fatoração LU rectangular
- Precondicionador Separador

$$M^{-1} = \begin{pmatrix} D_B^{1/2} & 0 & D_B^{-1/2}B^{-1} \\ 0 & D_N^{1/2} & 0 \\ D_B^{1/2} & 0 & 0 \end{pmatrix}$$

- Resolver um sistema com matriz de coeficientes $T = I + D_B^{-1/2}B^{-1}ND_NN^TB^{-T}D_B^{-1/2} \approx I$
- Método de Gradientes Conjugados



Conteúdo:

1 Programação Linear

Região Factível

Pontos Interiores

Precondicionadores

Método de Pontos Interiores

Método Predictor-Corretor

2 Solução de Sistemas no MPI

Métodos diretos e iterativos

3 Problema *PL* penalizado

Parâmetro de penalização

4 Resultados Numéricos

PCx

5 Conclusões

6 Bibliografia

7 Agradecimento

Método de Newton

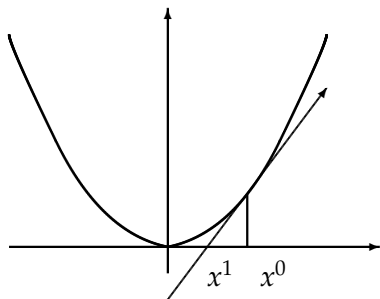
- Dado $\mathbf{F} : D_F \subset \mathbb{R}^n \rightarrow \mathbb{R}^n$. Equação a resolver $\mathbf{F}(\mathbf{x}) = \mathbf{0}$

- Taylor:

$$\mathbf{F}(\mathbf{x}) \approx \mathbf{F}(\mathbf{x}^0) + \mathbf{J}(\mathbf{x}^0)(\mathbf{x} - \mathbf{x}^0), \quad \mathbf{J}(\mathbf{x}) = \nabla \mathbf{F}(\mathbf{x}) \quad (\text{Jacobiana de } \mathbf{F})$$

- $\mathbf{x}^1 = \mathbf{x}^0 + \mathbf{d}$, $\mathbf{d} = -\mathbf{J}(\mathbf{x}^0)\mathbf{F}(\mathbf{x}^0)$

- $\mathbf{J}(\mathbf{x}_0)\mathbf{d} = -\mathbf{F}(\mathbf{x}_0)$

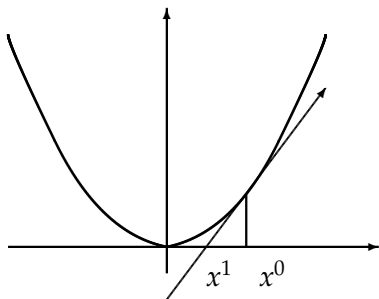


Método de Newton

- Dado $F : D_F \subset \mathbb{R}^n \rightarrow \mathbb{R}^n$. Equação a resolver $F(\mathbf{x}) = \mathbf{0}$
- Taylor:

$$F(\mathbf{x}) \approx F(\mathbf{x}^0) + J(\mathbf{x}^0)(\mathbf{x} - \mathbf{x}^0), \quad J(\mathbf{x}) = \nabla F(x) \quad (\text{Jacobiana de } F)$$

- $x^1 = x^0 + \mathbf{d}$, $\mathbf{d} = -J(\mathbf{x}^0)F(\mathbf{x}^0)$
- $J(\mathbf{x}_0)\mathbf{d} = -F(\mathbf{x}_0)$



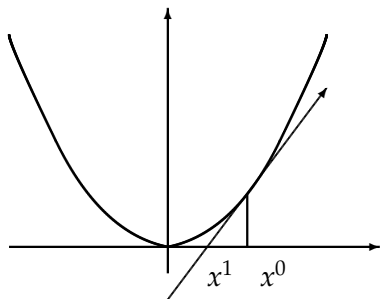
Método de Newton

- Dado $\mathbf{F} : D_F \subset \mathbb{R}^n \rightarrow \mathbb{R}^n$. Equação a resolver $\mathbf{F}(\mathbf{x}) = \mathbf{0}$
- Taylor:

$$\mathbf{F}(\mathbf{x}) \approx \mathbf{F}(\mathbf{x}^0) + \mathbf{J}(\mathbf{x}^0)(\mathbf{x} - \mathbf{x}^0), \quad \mathbf{J}(\mathbf{x}) = \nabla F(x) \quad (\text{Jacobiana de } \mathbf{F})$$

- $x^1 = x^0 + \mathbf{d}, \quad \mathbf{d} = -\mathbf{J}(\mathbf{x}^0)\mathbf{F}(\mathbf{x}^0)$

- $\mathbf{J}(\mathbf{x}_0)\mathbf{d} = -\mathbf{F}(\mathbf{x}_0)$

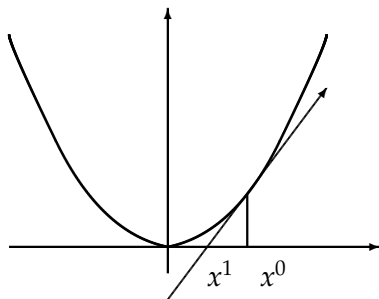


Método de Newton

- Dado $\mathbf{F} : D_F \subset \mathbb{R}^n \rightarrow \mathbb{R}^n$. Equação a resolver $\mathbf{F}(\mathbf{x}) = \mathbf{0}$
- Taylor:

$$\mathbf{F}(\mathbf{x}) \approx \mathbf{F}(\mathbf{x}^0) + \mathbf{J}(\mathbf{x}^0)(\mathbf{x} - \mathbf{x}^0), \quad \mathbf{J}(\mathbf{x}) = \nabla F(x) \quad (\text{Jacobiana de } \mathbf{F})$$

- $x^1 = x^0 + \mathbf{d}, \quad \mathbf{d} = -\mathbf{J}(\mathbf{x}^0)\mathbf{F}(\mathbf{x}^0)$
- $\mathbf{J}(\mathbf{x}_0)\mathbf{d} = -\mathbf{F}(\mathbf{x}_0)$



Sistema Aumentado, Sistema Normal

- Resolvendo Sistema KKT:

$$r_p = b - Ax^0, \quad r_d = c - A^T y^0 - z^0, \quad r_a = -X^0 Z^0 e$$

$$\begin{bmatrix} A & 0 & 0 \\ 0 & A^T & I \\ Z & 0 & X \end{bmatrix} \begin{bmatrix} dx \\ dy \\ dz \end{bmatrix} = \begin{bmatrix} r_p \\ r_d \\ r_a \end{bmatrix} \quad \begin{aligned} Adx &= r_p \\ A^T dy + dz &= r_d \\ Zdx + Xdz &= r_a \end{aligned} \quad (4)$$

- $Zdx + Xdz = r_a \Rightarrow dz = X^{-1}(r_a - Zdx)$
- $A^T dy + X^{-1}r_a - X^{-1}Zdx = r_d \Rightarrow A^T dy - X^{-1}Zdx = r_d - X^{-1}r_a$
- Sistema Aumentado

$$\begin{aligned} A^T dy - X^{-1}Zdx &= r_d - X^{-1}r_a \\ Adx &= r_p \end{aligned} \quad (5)$$

$$\begin{pmatrix} -D^{-1} & A^T \\ A & 0 \end{pmatrix} \begin{pmatrix} dx \\ dy \end{pmatrix} = \begin{pmatrix} r_d - X^{-1}r_a \\ r_p \end{pmatrix}, \quad D = Z^{-1}X \quad (6)$$

- Sistema Normal $ADA^T dy = r_p + AD(r_d - X^{-1}r_a)$



Sistema Aumentado, Sistema Normal

- Resolvendo Sistema KKT:

$$r_p = b - Ax^0, \quad r_d = c - A^T y^0 - z^0, \quad r_a = -X^0 Z^0 e$$

$$\begin{bmatrix} A & 0 & 0 \\ 0 & A^T & I \\ Z & 0 & X \end{bmatrix} \begin{bmatrix} dx \\ dy \\ dz \end{bmatrix} = \begin{bmatrix} r_p \\ r_d \\ r_a \end{bmatrix} \quad \begin{array}{l} Adx = r_p \\ A^T dy + dz = r_d \\ Zdx + Xdz = r_a \end{array} \quad (4)$$

- $Zdx + Xdz = r_a \Rightarrow dz = X^{-1}(r_a - Zdx)$

- $A^T dy + X^{-1}r_a - X^{-1}Zdx = r_d \Rightarrow A^T dy - X^{-1}Zdx = r_d - X^{-1}r_a$

- Sistema Aumentado

$$\begin{array}{l} A^T dy - X^{-1}Zdx = r_d - X^{-1}r_a \\ Adx = r_p \end{array} \quad (5)$$

$$\begin{pmatrix} -D^{-1} & A^T \\ A & 0 \end{pmatrix} \begin{pmatrix} dx \\ dy \end{pmatrix} = \begin{pmatrix} r_d - X^{-1}r_a \\ r_p \end{pmatrix}, \quad D = Z^{-1}X \quad (6)$$

- Sistema Normal $ADA^T dy = r_p + AD(r_d - X^{-1}r_a)$



Sistema Aumentado, Sistema Normal

- Resolvendo Sistema KKT:

$$r_p = b - Ax^0, \quad r_d = c - A^T y^0 - z^0, \quad r_a = -X^0 Z^0 e$$

$$\begin{bmatrix} A & 0 & 0 \\ 0 & A^T & I \\ Z & 0 & X \end{bmatrix} \begin{bmatrix} dx \\ dy \\ dz \end{bmatrix} = \begin{bmatrix} r_p \\ r_d \\ r_a \end{bmatrix} \quad \begin{array}{l} Adx = r_p \\ A^T dy + dz = r_d \\ Zdx + Xdz = r_a \end{array} \quad (4)$$

- $Zdx + Xdz = r_a \Rightarrow dz = X^{-1}(r_a - Zdx)$
- $A^T dy + X^{-1}r_a - X^{-1}Zdx = r_d \Rightarrow A^T dy - X^{-1}Zdx = r_d - X^{-1}r_a$

- Sistema Aumentado

$$\begin{array}{l} A^T dy - X^{-1}Zdx = r_d - X^{-1}r_a \\ Adx = r_p \end{array} \quad (5)$$

$$\begin{pmatrix} -D^{-1} & A^T \\ A & 0 \end{pmatrix} \begin{pmatrix} dx \\ dy \end{pmatrix} = \begin{pmatrix} r_d - X^{-1}r_a \\ r_p \end{pmatrix}, \quad D = Z^{-1}X \quad (6)$$

- Sistema Normal $ADA^T dy = r_p + AD(r_d - X^{-1}r_a)$



Sistema Aumentado, Sistema Normal

- Resolvendo Sistema KKT:

$$r_p = b - Ax^0, \quad r_d = c - A^T y^0 - z^0, \quad r_a = -X^0 Z^0 e$$

$$\begin{bmatrix} A & 0 & 0 \\ 0 & A^T & I \\ Z & 0 & X \end{bmatrix} \begin{bmatrix} dx \\ dy \\ dz \end{bmatrix} = \begin{bmatrix} r_p \\ r_d \\ r_a \end{bmatrix} \quad \begin{array}{l} Adx = r_p \\ A^T dy + dz = r_d \\ Zdx + Xdz = r_a \end{array} \quad (4)$$

- $Zdx + Xdz = r_a \Rightarrow dz = X^{-1}(r_a - Zdx)$
- $A^T dy + X^{-1}r_a - X^{-1}Zdx = r_d \Rightarrow A^T dy - X^{-1}Zdx = r_d - X^{-1}r_a$

- Sistema Aumentado

$$\begin{array}{r} A^T dy - X^{-1}Zdx = r_d - X^{-1}r_a \\ Adx = r_p \end{array} \quad (5)$$

$$\begin{pmatrix} -D^{-1} & A^T \\ A & 0 \end{pmatrix} \begin{pmatrix} dx \\ dy \end{pmatrix} = \begin{pmatrix} r_d - X^{-1}r_a \\ r_p \end{pmatrix}, \quad D = Z^{-1}X \quad (6)$$

- Sistema Normal $ADA^T dy = r_p + AD(r_d - X^{-1}r_a)$



Sistema Aumentado, Sistema Normal

- Resolvendo Sistema KKT:

$$r_p = b - Ax^0, \quad r_d = c - A^T y^0 - z^0, \quad r_a = -X^0 Z^0 e$$

$$\begin{bmatrix} A & 0 & 0 \\ 0 & A^T & I \\ Z & 0 & X \end{bmatrix} \begin{bmatrix} dx \\ dy \\ dz \end{bmatrix} = \begin{bmatrix} r_p \\ r_d \\ r_a \end{bmatrix} \quad \begin{array}{l} Adx = r_p \\ A^T dy + dz = r_d \\ Zdx + Xdz = r_a \end{array} \quad (4)$$

- $Zdx + Xdz = r_a \Rightarrow dz = X^{-1}(r_a - Zdx)$
- $A^T dy + X^{-1}r_a - X^{-1}Zdx = r_d \Rightarrow A^T dy - X^{-1}Zdx = r_d - X^{-1}r_a$
- Sistema Aumentado

$$\begin{array}{l} A^T dy - X^{-1}Zdx = r_d - X^{-1}r_a \\ Adx = r_p \end{array} \quad (5)$$

$$\begin{pmatrix} -D^{-1} & A^T \\ A & 0 \end{pmatrix} \begin{pmatrix} dx \\ dy \end{pmatrix} = \begin{pmatrix} r_d - X^{-1}r_a \\ r_p \end{pmatrix}, \quad D = Z^{-1}X \quad (6)$$

- Sistema Normal $ADA^T dy = r_p + AD(r_d - X^{-1}r_a)$

Algoritmo Método Primal–Dual Afim Escala

Require: x^0, y^0, z^0 tal que $x^0 > 0, z^0 > 0$

$\tau = 0.99995, \text{Maxit} = 100$

while $k = 0, 1, 2, \dots, \text{Maxit}$ e Condição de Parada **do**

$\tau = \tau \cdot \tau$

$\tau = \tau \cdot \tau$

$\tau = \tau \cdot \tau$

$\tau = \tau \cdot \tau$

$\tau = \tau \cdot \tau$

$\tau = \tau \cdot \tau$

$\tau = \tau \cdot \tau$

$\tau = \tau \cdot \tau$

$\tau = \tau \cdot \tau$

$\tau = \tau \cdot \tau$

$\tau = \tau \cdot \tau$

$\tau = \tau \cdot \tau$

$\tau = \tau \cdot \tau$

$\tau = \tau \cdot \tau$

$\tau = \tau \cdot \tau$

end while



Algoritmo Método Primal–Dual Afim Escala

Require: x^0, y^0, z^0 tal que $x^0 > 0, z^0 > 0$

$\tau = 0.99995, Maxit = 100$

while $k = 0, 1, 2, \dots, Maxit$ e Condição de Parada **do**

$x^k = b - Ax^k$

$y^k = c - Ax^k$

$z^k = c - Ax^k$

$x^k = b - Ax^k$

$y^k = c - Ax^k$

$z^k = c - Ax^k$

$x^k = b - Ax^k$

$y^k = c - Ax^k$

$z^k = c - Ax^k$

$x^k = b - Ax^k$

$y^k = c - Ax^k$

$z^k = c - Ax^k$

end while



Algoritmo Método Primal–Dual Afim Escala

Require: x^0, y^0, z^0 tal que $x^0 > 0, z^0 > 0$

$\tau = 0.99995, \text{Maxit} = 100$

while $k = 0, 1, 2, \dots$, *Maxit* e Condição de Parada **do**

$$r_p = b - Ax$$

$$r_d = c - A^T y - z$$

$$r_a = XZe$$

$$D = Z^{-1}X$$

$$\text{Resolver } ADA^T dy = r_p + AD(r_d - X^{-1}r_a)$$

$$dx = D(A^T dy - r_d + X^{-1}r_a)$$

$$dz = X^{-1}(r_a - Zdx)$$

Calcular o tamanho de passo α

$$x^{k+1} \leftarrow x^k + \alpha dx, \quad y^{k+1} \leftarrow y^k + \alpha dy, \quad z^{k+1} \leftarrow z^k + \alpha dz$$

Avaliar/Testar Condição de Parada

$$k \leftarrow k + 1$$

end while



Algoritmo Método Primal–Dual Afim Escala

Require: x^0, y^0, z^0 tal que $x^0 > 0, z^0 > 0$

$\tau = 0.99995, \text{Maxit} = 100$

while $k = 0, 1, 2, \dots$, *Maxit* e Condição de Parada **do**

$$r_p = b - Ax$$

$$r_d = c - A^T y - z$$

$$r_a = XZe$$

$$D = Z^{-1}X$$

$$\text{Resolver } ADA^T dy = r_p + AD(r_d - X^{-1}r_a)$$

$$dx = D(A^T dy - r_d + X^{-1}r_a)$$

$$dz = X^{-1}(r_a - Zdx)$$

Calcular o tamanho de passo α

$$x^{k+1} \leftarrow x^k + \alpha dx, \quad y^{k+1} \leftarrow y^k + \alpha dy, \quad z^{k+1} \leftarrow z^k + \alpha dz$$

Avaliar/Testar Condição de Parada

$$k \leftarrow k + 1$$

end while



Algoritmo Método Primal–Dual Afim Escala

Require: x^0, y^0, z^0 tal que $x^0 > 0, z^0 > 0$

$\tau = 0.99995, \text{Maxit} = 100$

while $k = 0, 1, 2, \dots$, *Maxit* e Condição de Parada **do**

$$r_p = b - Ax$$

$$r_d = c - A^T y - z$$

$$r_a = XZe$$

$$D = Z^{-1}X$$

$$\text{Resolver } ADA^T dy = r_p + AD(r_d - X^{-1}r_a)$$

$$dx = D(A^T dy - r_d + X^{-1}r_a)$$

$$dz = X^{-1}(r_a - Zdx)$$

Calcular o tamanho de passo α

$$x^{k+1} \leftarrow x^k + \alpha dx, \quad y^{k+1} \leftarrow y^k + \alpha dy, \quad z^{k+1} \leftarrow z^k + \alpha dz$$

Avaliar/Testar Condição de Parada

$$k \leftarrow k + 1$$

end while



Algoritmo Método Primal–Dual Afim Escala

Require: x^0, y^0, z^0 tal que $x^0 > 0, z^0 > 0$

$\tau = 0.99995, Maxit = 100$

while $k = 0, 1, 2, \dots$, *Maxit* e Condição de Parada **do**

$$r_p = b - Ax$$

$$r_d = c - A^T y - z$$

$$r_a = XZe$$

$$D = Z^{-1}X$$

$$\text{Resolver } ADA^T dy = r_p + AD(r_d - X^{-1}r_a)$$

$$dx = D(A^T dy - r_d + X^{-1}r_a)$$

$$dz = X^{-1}(r_a - Zdx)$$

Calcular o tamanho de passo α

$$x^{k+1} \leftarrow x^k + \alpha dx, \quad y^{k+1} \leftarrow y^k + \alpha dy, \quad z^{k+1} \leftarrow z^k + \alpha dz$$

Avaliar/Testar Condição de Parada

$$k \leftarrow k + 1$$

end while



Algoritmo Método Primal–Dual Afim Escala

Require: x^0, y^0, z^0 tal que $x^0 > 0, z^0 > 0$

$\tau = 0.99995, Maxit = 100$

while $k = 0, 1, 2, \dots$, *Maxit* e Condição de Parada **do**

$$r_p = b - Ax$$

$$r_d = c - A^T y - z$$

$$r_a = XZe$$

$$D = Z^{-1}X$$

$$\text{Resolver } ADA^T dy = r_p + AD(r_d - X^{-1}r_a)$$

$$dx = D(A^T dy - r_d + X^{-1}r_a)$$

$$dz = X^{-1}(r_a - Zdx)$$

Calcular o tamanho de passo α

$$x^{k+1} \leftarrow x^k + \alpha dx, \quad y^{k+1} \leftarrow y^k + \alpha dy, \quad z^{k+1} \leftarrow z^k + \alpha dz$$

Avaliar/Testar Condição de Parada

$$k \leftarrow k + 1$$

end while



Algoritmo Método Primal–Dual Afim Escala

Require: x^0, y^0, z^0 tal que $x^0 > 0, z^0 > 0$

$\tau = 0.99995, Maxit = 100$

while $k = 0, 1, 2, \dots$, *Maxit* e Condição de Parada **do**

$$r_p = b - Ax$$

$$r_d = c - A^T y - z$$

$$r_a = XZe$$

$$D = Z^{-1}X$$

Resolver $ADA^T dy = r_p + AD(r_d - X^{-1}r_a)$

$$dx = D(A^T dy - r_d + X^{-1}r_a)$$

$$dz = X^{-1}(r_a - Zdx)$$

Calcular o tamanho de passo α

$$x^{k+1} \leftarrow x^k + \alpha dx, \quad y^{k+1} \leftarrow y^k + \alpha dy, \quad z^{k+1} \leftarrow z^k + \alpha dz$$

Avaliar/Testar Condição de Parada

$$k \leftarrow k + 1$$

end while



Algoritmo Método Primal–Dual Afim Escala

Require: x^0, y^0, z^0 tal que $x^0 > 0, z^0 > 0$

$\tau = 0.99995, Maxit = 100$

while $k = 0, 1, 2, \dots$, *Maxit* e Condição de Parada **do**

$$r_p = b - Ax$$

$$r_d = c - A^T y - z$$

$$r_a = XZe$$

$$D = Z^{-1}X$$

$$\text{Resolver } ADA^T dy = r_p + AD(r_d - X^{-1}r_a)$$

$$dx = D(A^T dy - r_d + X^{-1}r_a)$$

$$dz = X^{-1}(r_a - Zdx)$$

Calcular o tamanho de passo α

$$x^{k+1} \leftarrow x^k + \alpha dx, \quad y^{k+1} \leftarrow y^k + \alpha dy, \quad z^{k+1} \leftarrow z^k + \alpha dz$$

Avaliar/Testar Condição de Parada

$$k \leftarrow k + 1$$

end while



Algoritmo Método Primal–Dual Afim Escala

Require: x^0, y^0, z^0 tal que $x^0 > 0, z^0 > 0$

$\tau = 0.99995, Maxit = 100$

while $k = 0, 1, 2, \dots$, *Maxit* e Condição de Parada **do**

$$r_p = b - Ax$$

$$r_d = c - A^T y - z$$

$$r_a = XZe$$

$$D = Z^{-1}X$$

$$\text{Resolver } ADA^T dy = r_p + AD(r_d - X^{-1}r_a)$$

$$dx = D(A^T dy - r_d + X^{-1}r_a)$$

$$dz = X^{-1}(r_a - Zdx)$$

Calcular o tamanho de passo α

$$x^{k+1} \leftarrow x^k + \alpha dx, \quad y^{k+1} \leftarrow y^k + \alpha dy, \quad z^{k+1} \leftarrow z^k + \alpha dz$$

Avaliar/Testar Condição de Parada

$$k \leftarrow k + 1$$

end while



Algoritmo Método Primal–Dual Afim Escala

Require: x^0, y^0, z^0 tal que $x^0 > 0, z^0 > 0$

$\tau = 0.99995, Maxit = 100$

while $k = 0, 1, 2, \dots$, *Maxit* e Condição de Parada **do**

$$r_p = b - Ax$$

$$r_d = c - A^T y - z$$

$$r_a = XZe$$

$$D = Z^{-1}X$$

$$\text{Resolver } ADA^T dy = r_p + AD(r_d - X^{-1}r_a)$$

$$dx = D(A^T dy - r_d + X^{-1}r_a)$$

$$dz = X^{-1}(r_a - Zdx)$$

Calcular o tamanho de passo α

$$x^{k+1} \leftarrow x^k + \alpha dx, \quad y^{k+1} \leftarrow y^k + \alpha dy, \quad z^{k+1} \leftarrow z^k + \alpha dz$$

Avaliar/Testar Condição de Parada

$$k \leftarrow k + 1$$

end while



Algoritmo Método Primal–Dual Afim Escala

Require: x^0, y^0, z^0 tal que $x^0 > 0, z^0 > 0$

$\tau = 0.99995, Maxit = 100$

while $k = 0, 1, 2, \dots$, *Maxit* e Condição de Parada **do**

$$r_p = b - Ax$$

$$r_d = c - A^T y - z$$

$$r_a = XZe$$

$$D = Z^{-1}X$$

$$\text{Resolver } ADA^T dy = r_p + AD(r_d - X^{-1}r_a)$$

$$dx = D(A^T dy - r_d + X^{-1}r_a)$$

$$dz = X^{-1}(r_a - Zdx)$$

Calcular o tamanho de passo α

$$x^{k+1} \leftarrow x^k + \alpha dx, \quad y^{k+1} \leftarrow y^k + \alpha dy, \quad z^{k+1} \leftarrow z^k + \alpha dz$$

Avaliar/Testar Condição de Parada

$$k \leftarrow k + 1$$

end while



Algoritmo Método Primal–Dual Afim Escala

Require: x^0, y^0, z^0 tal que $x^0 > 0, z^0 > 0$

$\tau = 0.99995, Maxit = 100$

while $k = 0, 1, 2, \dots$, *Maxit* e Condição de Parada **do**

$$r_p = b - Ax$$

$$r_d = c - A^T y - z$$

$$r_a = XZe$$

$$D = Z^{-1}X$$

$$\text{Resolver } ADA^T dy = r_p + AD(r_d - X^{-1}r_a)$$

$$dx = D(A^T dy - r_d + X^{-1}r_a)$$

$$dz = X^{-1}(r_a - Zdx)$$

Calcular o tamanho de passo α

$$x^{k+1} \leftarrow x^k + \alpha dx, \quad y^{k+1} \leftarrow y^k + \alpha dy, \quad z^{k+1} \leftarrow z^k + \alpha dz$$

Avaliar/Testar Condição de Parada

$$k \leftarrow k + 1$$

end while



Algoritmo Método Primal–Dual Afim Escala

Require: x^0, y^0, z^0 tal que $x^0 > 0, z^0 > 0$

$\tau = 0.99995, Maxit = 100$

while $k = 0, 1, 2, \dots$, *Maxit* e Condição de Parada **do**

$$r_p = b - Ax$$

$$r_d = c - A^T y - z$$

$$r_a = XZe$$

$$D = Z^{-1}X$$

$$\text{Resolver } ADA^T dy = r_p + AD(r_d - X^{-1}r_a)$$

$$dx = D(A^T dy - r_d + X^{-1}r_a)$$

$$dz = X^{-1}(r_a - Zdx)$$

Calcular o tamanho de passo α

$$x^{k+1} \leftarrow x^k + \alpha dx, \quad y^{k+1} \leftarrow y^k + \alpha dy, \quad z^{k+1} \leftarrow z^k + \alpha dz$$

Avaliar/Testar Condição de Parada

$$k \leftarrow k + 1$$

end while



Algoritmo Método Primal–Dual Afim Escala

Require: x^0, y^0, z^0 tal que $x^0 > 0, z^0 > 0$

$\tau = 0.99995, \text{Maxit} = 100$

while $k = 0, 1, 2, \dots$, *Maxit* e Condição de Parada **do**

$$r_p = b - Ax$$

$$r_d = c - A^T y - z$$

$$r_a = XZe$$

$$D = Z^{-1}X$$

$$\text{Resolver } ADA^T dy = r_p + AD(r_d - X^{-1}r_a)$$

$$dx = D(A^T dy - r_d + X^{-1}r_a)$$

$$dz = X^{-1}(r_a - Zdx)$$

Calcular o tamanho de passo α

$$x^{k+1} \leftarrow x^k + \alpha dx, \quad y^{k+1} \leftarrow y^k + \alpha dy, \quad z^{k+1} \leftarrow z^k + \alpha dz$$

Avaliar/Testar Condição de Parada

$$k \leftarrow k + 1$$

end while



Conteúdo:

1 Programação Linear

Região Factível

Pontos Interiores

Precondicionadores

Método de Pontos Interiores

Método Preditor-Corretor

2 Solução de Sistemas no MPI

Métodos diretos e iterativos

3 Problema *PL* penalizado

Parâmetro de penalização

4 Resultados Numéricos

PCx

5 Conclusões

6 Bibliografia

7 Agradecimento

PC

- Direção Afim Escala: É a direção de Newton como *direção preditora*.
- Direção de Correção: Que compensa a aproximação linear do Método de Newton
- Direção de Centragem: Uma vez que existe uma direção de correção vamos perturbar o problema com um parâmetro μ escolhido de forma mais inteligente que no método de seguidor de caminho.
- $\alpha = 1, \Rightarrow r_p^{k+1} = b - A(x + dx) = b - Ax - Adx = r_p^k - Adx = 0$
- $(X + D_X)(Z + D_Z)e = (XZ + ZD_X + XD_Z + D_XD_Z)e = -r_a + r_a + D_XD_Ze = D_XD_Ze$



- Direção Afim Escala: É a direção de Newton como *direção preditora*.
- Direção de Correção: Que compensa a aproximação linear do Método de Newton
- Direção de Centragem: Uma vez que existe uma direção de correção vamos perturbar o problema com um parâmetro μ escolhido de forma mais inteligente que no método de seguidor de caminho.
- $\alpha = 1, \Rightarrow r_p^{k+1} = b - A(x + dx) = b - Ax - Adx = r_p^k - Adx = 0$
- $(X + D_X)(Z + D_Z)e = (XZ + ZD_X + XD_Z + D_XD_Z)e = -r_a + r_a + D_XD_Ze = D_XD_Ze$



- Direção Afim Escala: É a direção de Newton como *direção preditora*.
 - Direção de Correção: Que compensa a aproximação linear do Método de Newton
 - Direção de Centragem: Uma vez que existe uma direção de correção vamos perturbar o problema com um parâmetro μ escolhido de forma mais inteligente que no método de seguidor de caminho.
- $\alpha = 1, \Rightarrow r_p^{k+1} = b - A(x + dx) = b - Ax - Adx = r_p^k - Adx = 0$
 - $(X + D_X)(Z + D_Z)e = (XZ + ZD_X + XD_Z + D_XD_Z)e = -r_a + r_a + D_XD_Ze = D_XD_Ze$



- Direção Afim Escala: É a direção de Newton como *direção preditora*.
- Direção de Correção: Que compensa a aproximação linear do Método de Newton
- Direção de Centragem: Uma vez que existe uma direção de correção vamos perturbar o problema com um parâmetro μ escolhido de forma mais inteligente que no método de seguidor de caminho.
- $\alpha = 1, \Rightarrow r_p^{k+1} = b - A(x + dx) = b - Ax - Adx = r_p^k - Adx = 0$
- $(X + D_X)(Z + D_Z)e = (XZ + ZD_X + XD_Z + D_XD_Z)e = -r_a + r_a + D_XD_Ze = D_XD_Ze$



- Direção Afim Escala: É a direção de Newton como *direção preditora*.
- Direção de Correção: Que compensa a aproximação linear do Método de Newton
- Direção de Centragem: Uma vez que existe uma direção de correção vamos perturbar o problema com um parâmetro μ escolhido de forma mais inteligente que no método de seguidor de caminho.
- $\alpha = 1, \Rightarrow r_p^{k+1} = b - A(x + dx) = b - Ax - Adx = r_p^k - Adx = 0$
- $(X + D_X)(Z + D_Z)e = (XZ + ZD_X + XD_Z + D_XD_Z)e = -r_a + r_a + D_XD_Ze = D_XD_Ze$



Cont PC

● Preditor

$$\begin{pmatrix} A & 0 & 0 \\ 0 & A^T & I \\ Z & 0 & X \end{pmatrix} \begin{pmatrix} \tilde{dx} \\ \tilde{dy} \\ \tilde{dz} \end{pmatrix} = \begin{pmatrix} r_p \\ r_d \\ r_a \end{pmatrix} \quad (7)$$

● Corretor

$$\begin{pmatrix} A & 0 & 0 \\ 0 & A^T & I \\ Z & 0 & X \end{pmatrix} \begin{pmatrix} dx \\ dy \\ dz \end{pmatrix} = \begin{pmatrix} 0 \\ 0 \\ -\tilde{D}_X \tilde{D}_Z e \end{pmatrix} \quad (8)$$

● Parâmetro de Perturbação

$$\mu = \sigma \frac{\gamma}{n}, \quad \sigma = \left(\frac{\tilde{\gamma}}{\gamma} \right)^p, \quad \tilde{\gamma} = (x + \tilde{\alpha}_p \tilde{dx})^T (z + \tilde{\alpha}_d \tilde{dz}), \quad p = 2 \text{ ou } 3.$$



Cont PC

● Preditor

$$\begin{pmatrix} A & 0 & 0 \\ 0 & A^T & I \\ Z & 0 & X \end{pmatrix} \begin{pmatrix} \tilde{dx} \\ \tilde{dy} \\ \tilde{dz} \end{pmatrix} = \begin{pmatrix} r_p \\ r_d \\ r_a \end{pmatrix} \quad (7)$$

● Corretor

$$\begin{pmatrix} A & 0 & 0 \\ 0 & A^T & I \\ Z & 0 & X \end{pmatrix} \begin{pmatrix} dx \\ dy \\ dz \end{pmatrix} = \begin{pmatrix} 0 \\ 0 \\ -\tilde{D}_X \tilde{D}_Z e \end{pmatrix} \quad (8)$$

● Parâmetro de Perturbação

$$\mu = \sigma \frac{\gamma}{n}, \quad \sigma = \left(\frac{\tilde{\gamma}}{\gamma} \right)^p, \quad \tilde{\gamma} = (x + \tilde{\alpha}_p \tilde{dx})^T (z + \tilde{\alpha}_d \tilde{dz}), \quad p = 2 \text{ ou } 3.$$



Cont PC

● Preditor

$$\begin{pmatrix} A & 0 & 0 \\ 0 & A^T & I \\ Z & 0 & X \end{pmatrix} \begin{pmatrix} \tilde{dx} \\ \tilde{dy} \\ \tilde{dz} \end{pmatrix} = \begin{pmatrix} r_p \\ r_d \\ r_a \end{pmatrix} \quad (7)$$

● Corretor

$$\begin{pmatrix} A & 0 & 0 \\ 0 & A^T & I \\ Z & 0 & X \end{pmatrix} \begin{pmatrix} dx \\ dy \\ dz \end{pmatrix} = \begin{pmatrix} 0 \\ 0 \\ -\widetilde{D}_X \widetilde{D}_{Ze} \end{pmatrix} \quad (8)$$

● Parâmetro de Perturbação

$$\mu = \sigma \frac{\gamma}{n}, \quad \sigma = \left(\frac{\tilde{\gamma}}{\gamma} \right)^p, \quad \tilde{\gamma} = (x + \tilde{\alpha}_p \tilde{dx})^T (z + \tilde{\alpha}_d \tilde{dz}), \quad p = 2 \text{ ou } 3.$$

Cont PC

- Utilizamos a perturbação na direção de correção ao mesmo tempo que fazemos a correção não linear

$$\begin{pmatrix} A & 0 & 0 \\ 0 & A^T & I \\ Z & 0 & X \end{pmatrix} \begin{pmatrix} \hat{dx} \\ \hat{dy} \\ \hat{dz} \end{pmatrix} = \begin{pmatrix} 0 \\ 0 \\ \mu e - \widetilde{D}_X \widetilde{D}_{Ze} \end{pmatrix} \quad (10)$$

- A direção final é a soma das direções \tilde{d} e \hat{d} .

$$\begin{pmatrix} A & 0 & 0 \\ 0 & A^T & I \\ Z & 0 & X \end{pmatrix} \begin{pmatrix} dx \\ dy \\ dz \end{pmatrix} = \begin{pmatrix} r_p \\ r_d \\ r_s \end{pmatrix}, \quad \begin{aligned} r_a &= -XZe \\ r_c &= \mu e - XZe = \mu e + r_a \\ r_s &= \mu e - XZe - \widetilde{D}_X \widetilde{D}_{Ze} \end{aligned}$$

$$r_s = r_c - \widetilde{D}_X \widetilde{D}_{Ze}$$

Cont PC

- Utilizamos a perturbação na direção de correção ao mesmo tempo que fazemos a correção não linear

$$\begin{pmatrix} A & 0 & 0 \\ 0 & A^T & I \\ Z & 0 & X \end{pmatrix} \begin{pmatrix} \hat{dx} \\ \hat{dy} \\ \hat{dz} \end{pmatrix} = \begin{pmatrix} 0 \\ 0 \\ \mu e - \widetilde{D}_X \widetilde{D}_{Ze} \end{pmatrix} \quad (10)$$

- A direção final é a soma das direções \tilde{d} e \hat{d} .

$$\begin{pmatrix} A & 0 & 0 \\ 0 & A^T & I \\ Z & 0 & X \end{pmatrix} \begin{pmatrix} dx \\ dy \\ dz \end{pmatrix} = \begin{pmatrix} r_p \\ r_d \\ r_s \end{pmatrix}, \quad \begin{aligned} r_a &= -XZe \\ r_c &= \mu e - XZe = \mu e + r_a \\ r_s &= \mu e - XZe - \widetilde{D}_X \widetilde{D}_{Ze} \end{aligned}$$

$$r_s = r_c - \widetilde{D}_X \widetilde{D}_{Ze}$$

Algoritmo Preditor-Corretor

Require: x^0, y^0, z^0 tal que $x^0 > 0, z^0 > 0$

$\tau = 0.99995$

$Maxit = 100$

while $k = 0, 1, 2, \dots, Maxit$ e Condição de Parada **do**

 Calcule x^k, y^k, z^k usando o método de predição

 Calcule o tamanho do passo Δt^k

 Calcule $x^{k+1}, y^{k+1}, z^{k+1}$

 Calcule o valor final usando (1)

 Calcule o tamanho do passo Δt^{k+1}

 Calcule $x^{k+2}, y^{k+2}, z^{k+2}$

 Calcule o valor final usando (1)

 Calcule o tamanho do passo Δt^{k+2}

 Calcule $x^{k+3}, y^{k+3}, z^{k+3}$

 Calcule o valor final usando (1)

end while



Algoritmo Preditor-Corretor

Require: x^0, y^0, z^0 tal que $x^0 > 0, z^0 > 0$

$\tau = 0.99995$

$Maxit = 100$

while $k = 0, 1, 2, \dots, Maxit$ e Condição de Parada **do**

 Calcular \hat{x}^k e \hat{z}^k usando o método de Newton

 Calcular \hat{y}^k usando o passo QP

 Calcular \hat{c}^k e \hat{d}^k usando o passo QP

 Calcular \hat{c}^k e \hat{d}^k usando o passo QP

 Calcular \hat{c}^k e \hat{d}^k usando o passo QP

 Calcular \hat{c}^k e \hat{d}^k usando o passo QP

 Calcular \hat{c}^k e \hat{d}^k usando o passo QP

 Calcular \hat{c}^k e \hat{d}^k usando o passo QP

 Calcular \hat{c}^k e \hat{d}^k usando o passo QP

 Calcular \hat{c}^k e \hat{d}^k usando o passo QP

 Calcular \hat{c}^k e \hat{d}^k usando o passo QP

end while



Algoritmo Preditor-Corretor

Require: x^0, y^0, z^0 tal que $x^0 > 0, z^0 > 0$

$\tau = 0.99995$

$Maxit = 100$

while $k = 0, 1, 2, \dots, Maxit$ e Condição de Parada **do**

 Calcule a direção afim escala: \bar{d}_x, \bar{d}_y e \bar{d}_z

 Calcule o tamanho do passo α_k e β_k

 Calcule x^{k+1}, y^{k+1} e z^{k+1}

 Calcule o novo ponto final usando (1)

 Calcule o novo tamanho do passo τ_k

 Calcule o novo tamanho do passo τ_{k+1}

 Calcule o novo tamanho do passo τ_{k+2}

 Calcule o novo tamanho do passo τ_{k+3}

 Calcule o novo tamanho do passo τ_{k+4}

end while



Algoritmo Preditor-Corretor

Require: x^0, y^0, z^0 tal que $x^0 > 0, z^0 > 0$

$$\tau = 0.99995$$

$$Maxit = 100$$

while $k = 0, 1, 2, \dots$, *Maxit* e Condição de Parada **do**

Calcule a direção afim escala: $\tilde{d}x, \tilde{d}y$ e $\tilde{d}z$

Calcule o tamanho de passo $\tilde{\alpha}_p$ e $\tilde{\alpha}_d$

Calcule $\tilde{\gamma}, \sigma$ e μ

Calcule a direção final usando (11)

Calcule o tamanho de passo α_p e α_d

$$x^{k+1} \leftarrow x^k + \alpha_p dx$$

$$y^{k+1} \leftarrow y^k + \alpha_d dy$$

$$z^{k+1} \leftarrow z^k + \alpha_d dz$$

Avaliar/Testar Condição de Parada

$$k \leftarrow k + 1$$

end while



Algoritmo Preditor-Corretor

Require: x^0, y^0, z^0 tal que $x^0 > 0, z^0 > 0$

$$\tau = 0.99995$$

$$Maxit = 100$$

while $k = 0, 1, 2, \dots$, $Maxit$ e Condição de Parada **do**

Calcule a direção afim escala: $\tilde{d}x, \tilde{d}y$ e $\tilde{d}z$

Calcule o tamanho de passo $\tilde{\alpha}_p$ e $\tilde{\alpha}_d$

Calcule $\tilde{\gamma}, \sigma$ e μ

Calcule a direção final usando (11)

Calcule o tamanho de passo α_p e α_d

$$x^{k+1} \leftarrow x^k + \alpha_p dx$$

$$y^{k+1} \leftarrow y^k + \alpha_d dy$$

$$z^{k+1} \leftarrow z^k + \alpha_d dz$$

Avaliar/Testar Condição de Parada

$$k \leftarrow k + 1$$

end while



Algoritmo Preditor-Corretor

Require: x^0, y^0, z^0 tal que $x^0 > 0, z^0 > 0$

$$\tau = 0.99995$$

$$Maxit = 100$$

while $k = 0, 1, 2, \dots$, $Maxit$ e Condição de Parada **do**

Calcule a direção afim escala: $\tilde{d}x, \tilde{d}y$ e $\tilde{d}z$

Calcule o tamanho de passo $\tilde{\alpha}_p$ e $\tilde{\alpha}_d$

Calcule $\tilde{\gamma}, \sigma$ e μ

Calcule a direção final usando (11)

Calcule o tamanho de passo α_p e α_d

$$x^{k+1} \leftarrow x^k + \alpha_p dx$$

$$y^{k+1} \leftarrow y^k + \alpha_d dy$$

$$z^{k+1} \leftarrow z^k + \alpha_d dz$$

Avaliar/Testar Condição de Parada

$$k \leftarrow k + 1$$

end while



Algoritmo Preditor-Corretor

Require: x^0, y^0, z^0 tal que $x^0 > 0, z^0 > 0$

$$\tau = 0.999995$$

$$Maxit = 100$$

while $k = 0, 1, 2, \dots$, $Maxit$ e Condição de Parada **do**

Calcule a direção afim escala: $\tilde{d}x, \tilde{d}y$ e $\tilde{d}z$

Calcule o tamanho de passo $\tilde{\alpha}_p$ e $\tilde{\alpha}_d$

Calcule $\tilde{\gamma}, \sigma$ e μ

Calcule a direção final usando (11)

Calcule o tamanho de passo α_p e α_d

$$x^{k+1} \leftarrow x^k + \alpha_p dx$$

$$y^{k+1} \leftarrow y^k + \alpha_d dy$$

$$z^{k+1} \leftarrow z^k + \alpha_d dz$$

Avaliar/Testar Condição de Parada

$$k \leftarrow k + 1$$

end while



Algoritmo Preditor-Corretor

Require: x^0, y^0, z^0 tal que $x^0 > 0, z^0 > 0$

$$\tau = 0.99995$$

$$Maxit = 100$$

while $k = 0, 1, 2, \dots$, $Maxit$ e Condição de Parada **do**

Calcule a direção afim escala: $\tilde{d}x, \tilde{d}y$ e $\tilde{d}z$

Calcule o tamanho de passo $\tilde{\alpha}_p$ e $\tilde{\alpha}_d$

Calcule $\tilde{\gamma}, \sigma$ e μ

Calcule a direção final usando (11)

Calcule o tamanho de passo α_p e α_d

$$x^{k+1} \leftarrow x^k + \alpha_p dx$$

$$y^{k+1} \leftarrow y^k + \alpha_d dy$$

$$z^{k+1} \leftarrow z^k + \alpha_d dz$$

Avaliar/Testar Condição de Parada

$$k \leftarrow k + 1$$

end while



Algoritmo Preditor-Corretor

Require: x^0, y^0, z^0 tal que $x^0 > 0, z^0 > 0$

$$\tau = 0.999995$$

$$Maxit = 100$$

while $k = 0, 1, 2, \dots$, $Maxit$ e Condição de Parada **do**

Calcule a direção afim escala: $\tilde{d}x, \tilde{d}y$ e $\tilde{d}z$

Calcule o tamanho de passo $\tilde{\alpha}_p$ e $\tilde{\alpha}_d$

Calcule $\tilde{\gamma}, \sigma$ e μ

Calcule a direção final usando (11)

Calcule o tamanho de passo α_p e α_d

$$x^{k+1} \leftarrow x^k + \alpha_p dx$$

$$y^{k+1} \leftarrow y^k + \alpha_d dy$$

$$z^{k+1} \leftarrow z^k + \alpha_d dz$$

Avaliar/Testar Condição de Parada

$$k \leftarrow k + 1$$

end while



Algoritmo Preditor-Corretor

Require: x^0, y^0, z^0 tal que $x^0 > 0, z^0 > 0$

$$\tau = 0.999995$$

$$Maxit = 100$$

while $k = 0, 1, 2, \dots$, *Maxit* e Condição de Parada **do**

Calcule a direção afim escala: $\tilde{d}x, \tilde{d}y$ e $\tilde{d}z$

Calcule o tamanho de passo $\tilde{\alpha}_p$ e $\tilde{\alpha}_d$

Calcule $\tilde{\gamma}, \sigma$ e μ

Calcule a direção final usando (11)

Calcule o tamanho de passo α_p e α_d

$$x^{k+1} \leftarrow x^k + \alpha_p dx$$

$$y^{k+1} \leftarrow y^k + \alpha_d dy$$

$$z^{k+1} \leftarrow z^k + \alpha_d dz$$

Avaliar/Testar Condição de Parada

$$k \leftarrow k + 1$$

end while



Algoritmo Preditor-Corretor

Require: x^0, y^0, z^0 tal que $x^0 > 0, z^0 > 0$

$$\tau = 0.999995$$

$$Maxit = 100$$

while $k = 0, 1, 2, \dots$, $Maxit$ e Condição de Parada **do**

Calcule a direção afim escala: $\tilde{d}x, \tilde{d}y$ e $\tilde{d}z$

Calcule o tamanho de passo $\tilde{\alpha}_p$ e $\tilde{\alpha}_d$

Calcule $\tilde{\gamma}, \sigma$ e μ

Calcule a direção final usando (11)

Calcule o tamanho de passo α_p e α_d

$$x^{k+1} \leftarrow x^k + \alpha_p dx$$

$$y^{k+1} \leftarrow y^k + \alpha_d dy$$

$$z^{k+1} \leftarrow z^k + \alpha_d dz$$

Avaliar/Testar Condição de Parada

$$k \leftarrow k + 1$$

end while



Algoritmo Preditor-Corretor

Require: x^0, y^0, z^0 tal que $x^0 > 0, z^0 > 0$

$$\tau = 0.99995$$

$$Maxit = 100$$

while $k = 0, 1, 2, \dots$, $Maxit$ e Condição de Parada **do**

Calcule a direção afim escala: $\tilde{d}x, \tilde{d}y$ e $\tilde{d}z$

Calcule o tamanho de passo $\tilde{\alpha}_p$ e $\tilde{\alpha}_d$

Calcule $\tilde{\gamma}, \sigma$ e μ

Calcule a direção final usando (11)

Calcule o tamanho de passo α_p e α_d

$$x^{k+1} \leftarrow x^k + \alpha_p dx$$

$$y^{k+1} \leftarrow y^k + \alpha_d dy$$

$$z^{k+1} \leftarrow z^k + \alpha_d dz$$

Avaliar/Testar Condição de Parada

$$k \leftarrow k + 1$$

end while



Algoritmo Preditor-Corretor

Require: x^0, y^0, z^0 tal que $x^0 > 0, z^0 > 0$

$$\tau = 0.99995$$

$$Maxit = 100$$

while $k = 0, 1, 2, \dots$, $Maxit$ e Condição de Parada **do**

Calcule a direção afim escala: $\tilde{d}x, \tilde{d}y$ e $\tilde{d}z$

Calcule o tamanho de passo $\tilde{\alpha}_p$ e $\tilde{\alpha}_d$

Calcule $\tilde{\gamma}, \sigma$ e μ

Calcule a direção final usando (11)

Calcule o tamanho de passo α_p e α_d

$$x^{k+1} \leftarrow x^k + \alpha_p dx$$

$$y^{k+1} \leftarrow y^k + \alpha_d dy$$

$$z^{k+1} \leftarrow z^k + \alpha_d dz$$

Avaliar/Testar Condição de Parada

$$k \leftarrow k + 1$$

end while



Algoritmo Preditor-Corretor

Require: x^0, y^0, z^0 tal que $x^0 > 0, z^0 > 0$

$$\tau = 0.99995$$

$$Maxit = 100$$

while $k = 0, 1, 2, \dots$, $Maxit$ e Condição de Parada **do**

Calcule a direção afim escala: $\tilde{d}x, \tilde{d}y$ e $\tilde{d}z$

Calcule o tamanho de passo $\tilde{\alpha}_p$ e $\tilde{\alpha}_d$

Calcule $\tilde{\gamma}, \sigma$ e μ

Calcule a direção final usando (11)

Calcule o tamanho de passo α_p e α_d

$$x^{k+1} \leftarrow x^k + \alpha_p dx$$

$$y^{k+1} \leftarrow y^k + \alpha_d dy$$

$$z^{k+1} \leftarrow z^k + \alpha_d dz$$

Avaliar/Testar Condição de Parada

$$k \leftarrow k + 1$$

end while



Algoritmo Preditor-Corretor

Require: x^0, y^0, z^0 tal que $x^0 > 0, z^0 > 0$

$$\tau = 0.99995$$

$$Maxit = 100$$

while $k = 0, 1, 2, \dots$, $Maxit$ e Condição de Parada **do**

Calcule a direção afim escala: $\tilde{d}x, \tilde{d}y$ e $\tilde{d}z$

Calcule o tamanho de passo $\tilde{\alpha}_p$ e $\tilde{\alpha}_d$

Calcule $\tilde{\gamma}, \sigma$ e μ

Calcule a direção final usando (11)

Calcule o tamanho de passo α_p e α_d

$$x^{k+1} \leftarrow x^k + \alpha_p dx$$

$$y^{k+1} \leftarrow y^k + \alpha_d dy$$

$$z^{k+1} \leftarrow z^k + \alpha_d dz$$

Avaliar/Testar Condição de Parada

$$k \leftarrow k + 1$$

end while



Obs

- É necessário resolver dois sistemas lineares por iteração com a mesma matriz de coeficientes.
- O esforço por iteração é maior
- Na pratica o número de iterações do método Preditor-Corretor é pouco mais que a metade em relação ao método Seguidor de Caminho.
- É possível provar convergência quadrática para esse método, se consideramos que os dois sistemas lineares constituem uma iteração.
- Este método poderia ser chamado *Método de Newton Perturbado* (μ) *Modificado* ($(x, z) > 0$) de ordem 1 (1 correção linear).
- Este método é a base de todas implementações atuais de pontos interiores.



Obs

- É necessário resolver dois sistemas lineares por iteração com a mesma matriz de coeficientes.
- O esforço por iteração é maior
- Na pratica o número de iterações do método Preditor-Corretor é pouco mais que a metade em relação ao método Seguidor de Caminho.
- É possível provar convergência quadrática para esse método, se consideramos que os dois sistemas lineares constituem uma iteração.
- Este método poderia ser chamado *Método de Newton Perturbado* (μ) *Modificado* ($(x, z) > 0$) de ordem 1 (1 correção linear).
- Este método é a base de todas implementações atuais de pontos interiores.



Obs

- É necessário resolver dois sistemas lineares por iteração com a mesma matriz de coeficientes.
- O esforço por iteração é maior
- Na pratica o número de iterações do método Preditor-Corretor é pouco mais que a metade em relação ao método Seguidor de Caminho.
- É possível provar convergência quadrática para esse método, se consideramos que os dois sistemas lineares constituem uma iteração.
- Este método poderia ser chamado *Método de Newton Perturbado* (μ) *Modificado* ($(x, z) > 0$) de ordem 1 (1 correção linear).
- Este método é a base de todas implementações atuais de pontos interiores.



Obs

- É necessário resolver dois sistemas lineares por iteração com a mesma matriz de coeficientes.
- O esforço por iteração é maior
- Na pratica o número de iterações do método Preditor-Corretor é pouco mais que a metade em relação ao método Seguidor de Caminho.
- É possível provar convergência quadrática para esse método, se consideramos que os dois sistemas lineares constituem uma iteração.
- Este método poderia ser chamado *Método de Newton Perturbado* (μ) *Modificado* ($(x, z) > 0$) de ordem 1 (1 correção linear).
- Este método é a base de todas implementações atuais de pontos interiores.



Obs

- É necessário resolver dois sistemas lineares por iteração com a mesma matriz de coeficientes.
- O esforço por iteração é maior
- Na pratica o número de iterações do método Preditor-Corretor é pouco mais que a metade em relação ao método Seguidor de Caminho.
- É possível provar convergência quadrática para esse método, se consideramos que os dois sistemas lineares constituem uma iteração.
- Este método poderia ser chamado *Método de Newton Perturbado* (μ) *Modificado* ($(x, z) > 0$) de ordem 1 (1 correção linear).
- Este método é a base de todas implementações atuais de pontos interiores.



Obs

- É necessário resolver dois sistemas lineares por iteração com a mesma matriz de coeficientes.
- O esforço por iteração é maior
- Na pratica o número de iterações do método Preditor-Corretor é pouco mais que a metade em relação ao método Seguidor de Caminho.
- É possível provar convergência quadrática para esse método, se consideramos que os dois sistemas lineares constituem uma iteração.
- Este método poderia ser chamado *Método de Newton Perturbado* (μ) *Modificado* ($(x, z) > 0$) de ordem 1 (1 correção linear).
- Este método é a base de todas implementações atuais de pontos interiores.



Conteúdo:

1 Programação Linear

Região Factível

Pontos Interiores

Precondicionadores

Método de Pontos Interiores

Método Predictor-Corretor

2 Solução de Sistemas no MPI

Métodos diretos e iterativos

3 Problema PL penalizado

Parâmetro de penalização

4 Resultados Numéricos

PC_x

5 Conclusões

6 Bibliografia

7 Agradecimento

Propriedades dos Sistemas

- Qual sistema resolver?

Equação Normal

$$ADA^T dy = r$$

Sistema Aumentado

$$\begin{pmatrix} -D^{-1} & A^T \\ A & 0 \end{pmatrix} \begin{pmatrix} dx \\ dy \end{pmatrix} = \begin{pmatrix} r_1 \\ r_2 \end{pmatrix} \quad (12)$$

Equações Normais

Definida Positiva

Simétrica

posto m

- Perda da estrutura esparsa
- Somente D altera na matriz
- Muito mais mal-condicionado
- Cholesky (Precondicionado)
- Gradientes Conjugados (Prec.)

Sistema Aumentado

Indefinida

Simétrica

posto $m + n$

- Utiliza matrizes originais
- Somente D altera na matriz
- mal-condicionado
- Bunch-Parlet
- Varios Métodos iterativos



Propriedades dos Sistemas

- Qual sistema resolver?

Equação Normal

$$ADA^T dy = r$$

Sistema Aumentado

$$\begin{pmatrix} -D^{-1} & A^T \\ A & 0 \end{pmatrix} \begin{pmatrix} dx \\ dy \end{pmatrix} = \begin{pmatrix} r_1 \\ r_2 \end{pmatrix} \quad (12)$$

Equações Normais

Definida Positiva

Simétrica

posto m

- Perda da estrutura esparsa
- Somente D altera na matriz
- Muito mais mal-condicionado
- Cholesky (Precondicionado)
- Gradientes Conjugados (Prec.)

Sistema Aumentado

Indefinida

Simétrica

posto $m + n$

- Utiliza matrizes originais
- Somente D altera na matriz
- mal-condicionado
- Bunch-Parlet
- Varios Métodos iterativos



Decomposição de Cholesky para matrizes esparsas

- $\mathbb{B} = ADA^T, \quad B_{ij} = \sum_{k=1}^n D_{kk} A_{ik} A_{kj}^T = \sum_{k=1}^n D_{kk} A_{ik} A_{jk}$

- Enchimento

$$\begin{pmatrix} * & * & * & * & * \\ * & * & . & . & . \\ * & . & * & . & . \\ * & . & . & * & . \\ * & . & . & . & * \end{pmatrix} \Rightarrow L = \begin{pmatrix} * & * & * & * & * \\ . & * & * & * & * \\ . & . & * & * & * \\ . & . & . & * & * \\ . & . & . & . & * \end{pmatrix}$$

- Reordenado

$$\begin{pmatrix} * & . & . & . & * \\ . & * & . & . & * \\ . & . & * & . & * \\ . & . & . & * & * \\ * & * & * & * & * \end{pmatrix} \Rightarrow L = \begin{pmatrix} * & . & . & . & * \\ . & * & . & . & * \\ . & . & * & . & * \\ . & . & . & * & * \\ . & . & . & . & * \end{pmatrix}$$



Decomposição de Cholesky para matrizes esparsas

- $\mathbb{B} = ADA^T, \quad B_{ij} = \sum_{k=1}^n D_{kk} A_{ik} A_{kj}^T = \sum_{k=1}^n D_{kk} A_{ik} A_{jk}$

- Enchimento

$$\begin{pmatrix} * & * & * & * & * \\ * & * & . & . & . \\ * & . & * & . & . \\ * & . & . & * & . \\ * & . & . & . & * \end{pmatrix} \Rightarrow L = \begin{pmatrix} * & * & * & * & * \\ . & * & * & * & * \\ . & . & * & * & * \\ . & . & . & * & * \\ . & . & . & . & * \end{pmatrix}$$

- Reordenado

$$\begin{pmatrix} * & . & . & . & * \\ . & * & . & . & * \\ . & . & * & . & * \\ . & . & . & * & * \\ * & * & * & * & * \end{pmatrix} \Rightarrow L = \begin{pmatrix} * & . & . & . & * \\ . & * & . & . & * \\ . & . & * & . & * \\ . & . & . & * & * \\ . & . & . & . & * \end{pmatrix}$$



Decomposição de Cholesky para matrizes esparsas

- $\mathbb{B} = ADA^T, \quad B_{ij} = \sum_{k=1}^n D_{kk} A_{ik} A_{kj}^T = \sum_{k=1}^n D_{kk} A_{ik} A_{jk}$

- Enchimento

$$\begin{pmatrix} * & * & * & * & * \\ * & * & . & . & . \\ * & . & * & . & . \\ * & . & . & * & . \\ * & . & . & . & * \end{pmatrix} \Rightarrow L = \begin{pmatrix} * & * & * & * & * \\ . & * & * & * & * \\ . & . & * & * & * \\ . & . & . & * & * \\ . & . & . & . & * \end{pmatrix}$$

- Reordenado

$$\begin{pmatrix} * & . & . & . & * \\ . & * & . & . & * \\ . & . & * & . & * \\ . & . & . & * & * \\ * & * & * & * & * \end{pmatrix} \Rightarrow L = \begin{pmatrix} * & . & . & . & * \\ . & * & . & . & * \\ . & . & * & . & * \\ . & . & . & * & * \\ . & . & . & . & * \end{pmatrix}$$



Conteúdo:

1 Programação Linear

Região Factível

Pontos Interiores

Precondicionadores

Método de Pontos Interiores

Método Predictor-Corretor

2 Solução de Sistemas no MPI

Métodos diretos e iterativos

3 Problema PL penalizado

Parâmetro de penalização

4 Resultados Numéricos

PCx

5 Conclusões

6 Bibliografia

7 Agradecimento

PL Penalizado

- Problema PL canalizado misto

$$\begin{aligned}
 (P) \quad & \text{Min} \quad c^T x \\
 & \text{s.a.} \quad Ax = b \\
 & \quad \quad Ex + v = u \\
 & \quad \quad (x, v) \geq 0
 \end{aligned} \tag{13}$$

- Sub-Problema, ρ parâmetro de penalização

$$\begin{aligned}
 (P_\rho) \quad & \text{Min} \quad c^T x + \frac{\rho}{2} \left(\|b - Ax\|^2 + \|u - Ex - v\|^2 \right) \\
 & \text{s.a.} \quad (x, v) \geq 0
 \end{aligned} \tag{14}$$

Função de penalização $\mathcal{P}(x, v) = \frac{\rho}{2} \left(\|b - Ax\|^2 + \|u - Ex - v\|^2 \right)$



PL Penalizado

- Problema PL canalizado misto

$$\begin{aligned}
 (P) \quad & \text{Min} \quad c^T x \\
 & \text{s.a.} \quad Ax = b \\
 & \quad \quad Ex + v = u \\
 & \quad \quad (x, v) \geq 0
 \end{aligned} \tag{13}$$

- Sub-Problema, ρ parâmetro de penalização

$$\begin{aligned}
 (P_\rho) \quad & \text{Min} \quad c^T x + \frac{\rho}{2} \left(\|b - Ax\|^2 + \|u - Ex - v\|^2 \right) \\
 & \text{s.a.} \quad (x, v) \geq 0
 \end{aligned} \tag{14}$$

Função de penalização $\mathcal{P}(x, v) = \frac{\rho}{2} \left(\|b - Ax\|^2 + \|u - Ex - v\|^2 \right)$



KKT

- Sistema KKT perturbado

$$\begin{aligned}
 Ax + \delta y &= b \\
 Ex + v - \delta w &= u \\
 A^T y + z - E^T w &= c \\
 XZe &= \mu e \\
 VWe &= \mu e
 \end{aligned} \tag{15}$$

- Sistema Newton

$$\begin{aligned}
 Adx + \delta dy &= r_p, & r_p &= b - Ax - \delta y \\
 Edx + dv - \delta dw &= r_u, & r_u &= u - Ex - v + \delta w \\
 A^T dy + dz - E^T dw &= r_d, & r_d &= c - A^T y - z + E^T w \\
 Zdx + Xdz &= r_s, & r_s &= -XZe + \mu e \\
 Wdv + Vdw &= r_r, & r_r &= -VWe + \mu e
 \end{aligned} \tag{16}$$



KKT

- Sistema KKT perturbado

$$\begin{aligned}
 Ax + \delta y &= b \\
 Ex + v - \delta w &= u \\
 A^T y + z - E^T w &= c \\
 XZe &= \mu e \\
 VWe &= \mu e
 \end{aligned} \tag{15}$$

- Sistema Newton

$$\begin{aligned}
 A dx + \delta dy &= r_p, & r_p &= b - Ax - \delta y \\
 E dx + dv - \delta dw &= r_u, & r_u &= u - Ex - v + \delta w \\
 A^T dy + dz - E^T dw &= r_d, & r_d &= c - A^T y - z + E^T w \\
 Z dx + X dz &= r_s, & r_s &= -XZe + \mu e \\
 W dv + V dw &= r_r, & r_r &= -VWe + \mu e
 \end{aligned} \tag{16}$$



Sistema Aumentado e Normal

- $$D = (X^{-1}Z + E^T S^{-1} W E)^{-1} \text{ e } r_1 = r_d - X^{-1} r_s + E^T S^{-1} r_r - E^T S^{-1} W r_u$$

$$\begin{pmatrix} -D^{-1} & A^T \\ A & \delta I \end{pmatrix} \begin{pmatrix} dx \\ dy \end{pmatrix} = \begin{pmatrix} r_1 \\ r_p \end{pmatrix} \quad (17)$$

- Sistema Normal

$$(ADA^T + \delta I) dy = r_p + AD(r_d - X^{-1} r_s + E^T S^{-1} r_r - E^T S^{-1} W r_u) = r_p + AD r_1 \quad (18)$$

- Equivalência a Sub-Problema

$$(P_\delta) \quad \text{Min} \quad c^T x + \frac{\delta}{2} y^T y + \frac{\delta}{2} w^T w$$

$$\text{s.a.} \quad Ax + \delta y = b$$

$$Ex + v - \delta w = u$$

$$(x, v) \geq 0, \quad y \text{ livre}, \quad w \geq 0$$



Sistema Aumentado e Normal

- $$D = (X^{-1}Z + E^T S^{-1}WE)^{-1} \text{ e } r_1 = r_d - X^{-1}r_s + E^T S^{-1}r_r - E^T S^{-1}W r_u$$

$$\begin{pmatrix} -D^{-1} & A^T \\ A & \delta I \end{pmatrix} \begin{pmatrix} dx \\ dy \end{pmatrix} = \begin{pmatrix} r_1 \\ r_p \end{pmatrix} \quad (17)$$

- Sistema Normal

$$(ADA^T + \delta I)dy = r_p + AD(r_d - X^{-1}r_s + E^T S^{-1}r_r - E^T S^{-1}W r_u) = r_p + AD r_1 \quad (18)$$

- Equivalência a Sub-Problema

$$(P_\delta) \quad \text{Min} \quad c^T x + \frac{\delta}{2} y^T y + \frac{\delta}{2} w^T w$$

$$\text{s.a.} \quad Ax + \delta y = b$$

$$Ex + v - \delta w = u$$

$$(x, v) \geq 0, y \text{ livre}, w \geq 0$$



Sistema Aumentado e Normal

- $$D = (X^{-1}Z + E^T S^{-1}WE)^{-1} \text{ e } r_1 = r_d - X^{-1}r_s + E^T S^{-1}r_r - E^T S^{-1}W r_u$$

$$\begin{pmatrix} -D^{-1} & A^T \\ A & \delta I \end{pmatrix} \begin{pmatrix} dx \\ dy \end{pmatrix} = \begin{pmatrix} r_1 \\ r_p \end{pmatrix} \quad (17)$$

- Sistema Normal

$$(ADA^T + \delta I)dy = r_p + AD(r_d - X^{-1}r_s + E^T S^{-1}r_r - E^T S^{-1}W r_u) = r_p + AD r_1 \quad (18)$$

- Equivalência a Sub-Problema

$$(P_\delta) \quad \text{Min} \quad c^T x + \frac{\delta}{2} y^T y + \frac{\delta}{2} w^T w$$

$$\text{s.a.} \quad Ax + \delta y = b$$

$$Ex + v - \delta w = u$$

$$(x, v) \geq 0, \quad y \text{ livre}, \quad w \geq 0$$

Conteúdo:

- 1 Programação Linear
 - Região Factível
 - Pontos Interiores
 - Precondicionadores
 - Método de Pontos Interiores
 - Método Predictor-Corretor
- 2 Solução de Sistemas no MPI
- Métodos diretos e iterativos
- 3 Problema *PL* penalizado
 - Parâmetro de penalização
- 4 Resultados Numéricos**
 - PCx
- 5 Conclusões
- 6 Bibliografia
- 7 Agradecimento

Nova abordagem

- Aurélio: Base por fatoração LU rectangular de A
- Porfirio: Base por fatoração LU rectangular de A^T
- Melhor condicionamento da Base

Nome do Problema	LUret Número de Condição	LUstd Número de Condição
aifro	118.9738	33.3923
fit1p	5.0716e+03	4.0253e+03
fit2p	2.2670e+04	5.9354e+03
grow22	1.9056e+17*	653.0329
israel	1.7269e+07*	2.9008e+04
kb2	2.8085e+03	2.8085e+03
Maros-r7	4.1548e+06*	187.3688

Nova abordagem

- Aurélio: Base por fatoração LU rectangular de A
- Porfirio: Base por fatoração LU rectangular de A^T
- Melhor condicionamento da Base

Nome do Problema	LUret Número de Condição	LUstd Número de Condição
aifro	118.9738	33.3923
fit1p	5.0716e+03	4.0253e+03
fit2p	2.2670e+04	5.9354e+03
grow22	1.9056e+17*	653.0329
israel	1.7269e+07*	2.9008e+04
kb2	2.8085e+03	2.8085e+03
Maros-r7	4.1548e+06*	187.3688



Nova abordagem

- Aurélio: Base por fatoração LU rectangular de A
- Porfirio: Base por fatoração LU rectangular de A^T
- Melhor condicionamento da Base

Nome do Problema	LUret Número de Condição	LUstd Número de Condição
aforo	118.9738	33.3923
fit1p	5.0716e+03	4.0253e+03
fit2p	2.2670e+04	5.9354e+03
grow22	1.9056e+17*	653.0329
israel	1.7269e+07*	2.9008e+04
kb2	2.8085e+03	2.8085e+03
Maros-r7	4.1548e+06*	187.3688

Implementação UMFPACK e AMD

	LUstd	LUret
Problemas abordados	179	179
Problemas resolvidos	141	115
Só por cada método	32	6
Não resolvidos	38	64
Prob. c/outro erro	1	16
Resolvidos Luret e Lustd	109	109
Tempo total dos 109 problemas	4563.98	4497.81

- Enquanto a tempos não existe uma diferença significativa a favor de um dos métodos
- LUstd é mais robusto que LUret, embora que LUstd resolveu quase todos os problemas de fort#, (não são problemas grandes)
- 16 problemas com LUret falharam por outras razões como Wrong Branch, falha de segmentação no Linux, etc.
- LUstd tem problemas de fatoração para problemas maiores como kra30a, ste36a. precisa melhorar algoritmo LUstd.

Implementação UMFPACK e AMD

	LUstd	LUret
Problemas abordados	179	179
Problemas resolvidos	141	115
Só por cada método	32	6
Não resolvidos	38	64
Prob. c/outro erro	1	16
Resolvidos Luret e Lustd	109	109
Tempo total dos 109 problemas	4563.98	4497.81

- Enquanto a tempos não existe uma diferença significativa a favor de um dos métodos
- LUstd é mais robusto que LUret, embora que LUstd resolveu quase todos os problemas de fort#, (não são problemas grandes)
- 16 problemas com LUret falharam por outras razões como Wrong Branch, falha de segmentação no Linux, etc.
- LUstd tem problemas de fatoração para problemas maiores como kra30a, ste36a. precisa melhorar algoritmo LUstd.

Implementação UMFPACK e AMD

	LUstd	LUret
Problemas abordados	179	179
Problemas resolvidos	141	115
Só por cada método	32	6
Não resolvidos	38	64
Prob. c/outro erro	1	16
Resolvidos Luret e Lustd	109	109
Tempo total dos 109 problemas	4563.98	4497.81

- Enquanto a tempos não existe uma diferença significativa a favor de um dos métodos
- LUstd é mais robusto que LUret, embora que LUstd resolveu quase todos os problemas de fort#, (não são problemas grandes)
- 16 problemas com LUret falharam por outras razões como Wrong Branch, falha de segmentação no Linux, etc.
- LUstd tem problemas de fatoração para problemas maiores como kra30a, ste36a. precisa melhorar algoritmo LUstd.

Implementação UMFPACK e AMD

	LUstd	LUret
Problemas abordados	179	179
Problemas resolvidos	141	115
Só por cada método	32	6
Não resolvidos	38	64
Prob. c/outro erro	1	16
Resolvidos Luret e Lustd	109	109
Tempo total dos 109 problemas	4563.98	4497.81





- Enquanto a tempos não existe uma diferença significativa a favor de um dos métodos
- LUstd é mais robusto que LUret, embora que LUstd resolveu quase todos os problemas de fort#, (não são problemas grandes)
- 16 problemas com LUret falharam por outras razões como Wrong Branch, falha de segmentação no Linux, etc.
- LUstd tem problemas de fatoração para problemas maiores como kra30a, ste36a. precisa melhorar algoritmo LUstd.

Problema





Acabou memória de meu computador para problemas maiores a 130 mil variáveis!!!!







Bibliografia

-  Hall J. Al-Jeiroudi G., Gondzio J., *Preconditioning indefinite system in interior point methods for large scale linear optimization*, Optimization Methods and Software **23** (2008), 345–363.
-  Luca Bergamaschi, Jacek Gondzio, and Giovanni Zilli, *Preconditioning indefinite systems in interior point methods for optimization*, Computational Optimization and Applications **28** (2004), no. 2, 149–171.
-  Zilli G. Bergamaschi L., Gondzio J., *Preconditioning indefinite system in interior point methods for optimization*, Computational Optimization and Application **28** (2004), 149–171, Kluwer Academic Publishers – Netherlands.
-  Toh K. Chai J., *Preconditioning and iterative solution of symmetric indefinite linear system arising from interior point methods for linear programming*, Computational Optimization and Applications **30** (2007), 221–247.





Bibliografia

-  Hall J. Al-Jeiroudi G., Gondzio J., *Preconditioning indefite system in interior point methods for large scale linear optimization*, Optimization Methods and Software **23** (2008), 345–363.
-  Luca Bergamaschi, Jacek Gondzio, and Giovanni Zilli, *Preconditioning indefinite systems in interior point methods for optimization*, Computational Optimization and Applications **28** (2004), no. 2, 149–171.
-  Zilli G. Bergamaschi L., Gonszio J., *Preconditioning indefite system in interior point methods for optimization*, Computational Optimization and Application **28** (2004), 149–171, Kluwer Academic Publishers – Netherlands.
-  Toh K. Chai J., *Preconditioning and iterative solution of symmetric indefinite linear system arising from interior point methods for linear programming*, Computational Optimization and Applications **3** (2007), 221–247.





Bibliografia

-  Hall J. Al-Jeiroudi G., Gondzio J., *Preconditioning indefinite system in interior point methods for large scale linear optimization*, Optimization Methods and Software **23** (2008), 345–363.
-  Luca Bergamaschi, Jacek Gondzio, and Giovanni Zilli, *Preconditioning indefinite systems in interior point methods for optimization*, Computational Optimization and Applications **28** (2004), no. 2, 149–171.
-  Zilli G. Bergamaschi L., Gondzio J., *Preconditioning indefinite system in interior point methods for optimization*, Computational Optimization and Application **28** (2004), 149–171, Kluwer Academic Publishers – Netherlands.
-  Toh K. Chai J., *Preconditioning and iterative solution of symmetric indefinite linear system arising from interior point methods for linear programming*, Computational Optimization and Applications **30** (2007), 221–247.





Bibliografia

-  Hall J. Al-Jeiroudi G., Gondzio J., *Preconditioning indefite system in interior point methods for large scale linear optimization*, Optimization Methods and Software **23** (2008), 345–363.
-  Luca Bergamaschi, Jacek Gondzio, and Giovanni Zilli, *Preconditioning indefinite systems in interior point methods for optimization*, Computational Optimization and Applications **28** (2004), no. 2, 149–171.
-  Zilli G. Bergamaschi L., Gonszio J., *Preconditioning indefite system in interior point methods for optimization*, Computational Optimization and Application **28** (2004), 149–171, Kluwer Academic Publishers – Netherlands.
-  Toh K. Chai J., *Preconditioning and iterative solution of symmetric indefinite linear system arising from interior point methods for linear programming*, Computational Optimization and Applications **36** (2007), 221–247.





Bibliografia

-  Timothy A Davis and Iain S Duff, *An unsymmetric-pattern multifrontal method for sparse lu factorization*, SIAM Journal on Matrix Analysis and Applications **18** (1997), no. 1, 140–158.
-  Luenberger David G., *Linear and nonlinear programming*, 2nd ed., Springer, Standford University USA, 2005.
-  Gondzio J., *Interior point method 25 year later*, European Journal of Operational Research (2011), 12–34, Elsevier doi 10.1016/j.ejor.2011.09.017 <http://maths.ed.ac.uk/~gondzio>.
-  Oliveira Aurelio R. L., *Mt503: Programação linear*, Aulas de Pósgraduação em Matemática Aplicada no IMECC–UNICAMP, Ago-Dez 2011.





Bibliografia

-  Timothy A Davis and Iain S Duff, *An unsymmetric-pattern multifrontal method for sparse lu factorization*, SIAM Journal on Matrix Analysis and Applications **18** (1997), no. 1, 140–158.
-  Luenberger David G., *Linear and nonlinear programming*, 2nd ed., Springer, Standford University USA, 2005.
-  Gondzio J., *Interior point method 25 year later*, European Journal of Operational Research (2011), 12–34, Elsevier doi 10.1016/j.ejor.2011.09.017 <http://maths.ed.ac.uk/~gondzio>.
-  Oliveira Aurelio R. L., *Mt503: Programação linear*, Aulas de Pósgraduação em Matemática Aplicada no IMECC–UNICAMP, Ago-Dez 2011.





Bibliografia

-  Timothy A Davis and Iain S Duff, *An unsymmetric-pattern multifrontal method for sparse lu factorization*, SIAM Journal on Matrix Analysis and Applications **18** (1997), no. 1, 140–158.
-  Luenberger David G., *Linear and nonlinear programming*, 2nd ed., Springer, Standford University USA, 2005.
-  Gondzio J., *Interior point method 25 year later*, European Journal of Operational Research (2011), 12–34, Elsevier doi 10.1016/j.ejor.2011.09.017 <http://maths.ed.ac.uk/~gondzio>.
-  Oliveira Aurelio R. L., *Mt503: Programação linear*, Aulas de Pósgraduação em Matemática Aplicada no IMECC–UNICAMP, Ago-Dez 2011.





Bibliografia

-  Timothy A Davis and Iain S Duff, *An unsymmetric-pattern multifrontal method for sparse lu factorization*, SIAM Journal on Matrix Analysis and Applications **18** (1997), no. 1, 140–158.
-  Luenberger David G., *Linear and nonlinear programming*, 2nd ed., Springer, Standford University USA, 2005.
-  Gondzio J., *Interior point method 25 year later*, European Journal of Operational Research (2011), 12–34, Elsevier doi 10.1016/j.ejor.2011.09.017 <http://maths.ed.ac.uk/~gondzio>.
-  Oliveira Aurelio R. L., *Mt503: Programação linear*, Aulas de Pósgraduação em Matemática Aplicada no IMECC–UNICAMP, Ago-Dez 2011.





Bibliografia

-  S. Mehrotra, *On the implementation of a primal-dual interior point method*, SIAM Journal on Optimization **2** (1992), 575–601.
-  Sorensen D. C. Oliveira A. R. L., *A new class of preconditioners for large-scale linear systems from interior point methods for linear programming*, Linear Algebra and its Applications **394** (2005), 1–24, England <http://www.ime.unicamp.br/~aurelio/artigos/cor.pdf>.
-  Mehrotra S., *Asymptotic convergence in a generalized-predictor-corrector method*, Manuscript, Dept. of Industrial Engineering and Management Sciences, 1992, Northwestern University, Evanston, IL 60208, USA.
-  Bocanegra Silvana, *Algoritmos de newton-krylov preconditionados para métodos de pontos interiores*, Impresso, Universidade Federal de Minas Gerais, Belo Horizonte, Dezembro 2005.





Bibliografia

-  S. Mehrotra, *On the implementation of a primal-dual interior point method*, SIAM Journal on Optimization **2** (1992), 575–601.
-  Sorensen D. C. Oliveira A. R. L., *A new class of preconditioners for large-scale linear systems from interior point methods for linear programming*, Linear Algebra and its Applications **394** (2005), 1–24, England <http://www.ime.unicamp.br/~aurelio/artigos/cor.pdf>.
-  Mehrotra S., *Asymptotic convergence in a generalized-predictor-corrector method*, Manuscript, Dept. of Industrial Engineering and Management Sciences, 1992, Northwestern University, Evanston, IL 60208, USA.
-  Bocanegra Silvana, *Algoritmos de newton-krylov preconditionados para métodos de pontos interiores*, Impresso, Universidade Federal de Minas Gerais, Belo Horizonte, Dezembro 2005.

Bibliografia

-  S. Mehrotra, *On the implementation of a primal-dual interior point method*, SIAM Journal on Optimization **2** (1992), 575–601.
-  Sorensen D. C. Oliveira A. R. L., *A new class of preconditioners for large-scale linear systems from interior point methods for linear programming*, Linear Algebra and its Applications **394** (2005), 1–24, England <http://www.ime.unicamp.br/~aurelio/artigos/cor.pdf>.
-  Mehrotra S., *Asymptotic convergence in a generalized-predictor-corrector method*, Manuscript, Dept. of Industrial Engineering and Management Sciences, 1992, Northwestern University, Evanston, IL 60208, USA.
-  Bocanegra Silvana, *Algoritmos de newton-krylov preconditionados para métodos de pontos interiores*, Impresso, Universidade Federal de Minas Gerais, Belo Horizonte, Dezembro 2005.

Bibliografia

-  S. Mehrotra, *On the implementation of a primal-dual interior point method*, SIAM Journal on Optimization **2** (1992), 575–601.
-  Sorensen D. C. Oliveira A. R. L., *A new class of preconditioners for large-scale linear systems from interior point methods for linear programming*, Linear Algebra and its Applications **394** (2005), 1–24, England <http://www.ime.unicamp.br/~aurelio/artigos/cor.pdf>.
-  Mehrotra S., *Asymptotic convergence in a generalized-predictor-corrector method*, Manuscript, Dept. of Industrial Engineering and Management Sciences, 1992, Northwestern University, Evanston, IL 60208, USA.
-  Bocanegra Silvana, *Algoritmos de newton-krylov preconditionados para métodos de pontos interiores*, Impresso, Universidade Federal de Minas Gerais, Belo Horizonte, Dezembro 2005.

Agradecimento

O B R I G A D O

Pela sua Atenção

Porfirio Suñagua Salgado



Agradecimento

O B R I G A D O

Pela sua Atenção

Porfirio Suñagua Salgado

